

الگوریتمی بر اساس اتوماتان‌های یادگیر برای تعیین حداقل تعداد واحدهای مخفی در یک شبکه عصبی سه لایه

محمد رضا میبدی
دانشیار

حمید بیگی
دانشجوی دکترا

دانشکده مهندسی کامپیوتر ، دانشگاه صنعتی امیرکبیر

چکیده

یکی از مسائل حل نشده در شبکه‌های عصبی سه لایه انتخاب ساختار بهینه (ساختار با حداقل تعداد واحدهای لایه میانی) برای شبکه می باشد. در شبکه‌های عصبی سه لایه، در ابتدای آموزش، یک ساختار مشخص برای شبکه انتخاب و سپس شبکه آموزش داده می شود. کارایی الگوریتم آموزش برای این شبکه‌ها، به میزان زیادی به ساختار انتخاب شده دارد. برای مشخص نمودن ساختار بهینه باید یک جستجوی کامل در فضای ساختارها انجام گیرد که این خود دارای هزینه بالایی است. مسئله پیدا کردن ساختار بهینه برای شبکه‌های عصبی، در گروه مسائل NP-Hard قرار دارد و به همین جهت برای کاهش زمان تعیین ساختار مناسب برای شبکه، روش‌های تقریبی از جمله الگوریتم‌های سازنده، الگوریتم‌های هرس، الگوریتم‌های ترکیبی و الگوریتم‌های تکاملی پیشنهاد شده‌اند که ساختار نزدیک به بهینه را تولید می کنند. در اغلب این روش‌ها، از الگوریتم‌های کوهنوردی به عنوان ابزار جستجو استفاده می شود که مشکل گرفتاری در حداقل‌های محلی را دارند. در این مقاله الگوریتمی به نام الگوریتم بقا، برای تعیین ساختار شبکه عصبی سه لایه معرفی شده است که از یک اتوماتان یادگیر (به عنوان یک ابزار جستجوی عمومی) و الگوریتم انتشار خطا به عقب استفاده می کند و در ضمن آموزش، ساختار نزدیک به بهینه را برای شبکه تعیین می نماید. استفاده از اتوماتان‌های یادگیر به عنوان یک ابزار جستجوی عمومی مشکل گرفتاری در حداقل‌های محلی را تا حدودی حل می نماید و احتمال رسیدن به بهترین ساختار را افزایش می دهد. در الگوریتم بقا، آموزش از یک شبکه بزرگ شروع شده و اتومان یادگیر با افزودن و کاستن واحدهای مخفی، حداقل تعداد واحدهای مورد نیاز لایه مخفی را تعیین می کند.

A Learning Automata Based Algorithm for Determination of Minimum Number of Hidden Units for Three Layers Neural Networks

H. Beigy
Ph.D. Student

M. R. Meybodi
Associate Professor

Computer Engineering Department,
Amirkabir University of Technology

Abstract

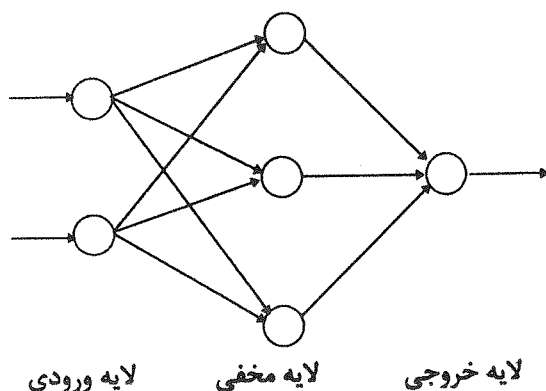
One of the unsolved problems in multi-layer neural networks is the problem of determination of optimal topology: a topology with minimum number of hidden units. There is no method to determine the optimal topology for multi-layer neural networks for a given problem. Usually the designer selects a topology for the network and then trains it. The selected topology remains fixed during the training period. Since the problem of determination of optimal topology for neural networks belongs to class of NP-Hard problems, most of the existing algorithms for determination of the topology are approximate algorithms. These algorithms could be classified into four main groups: pruning algorithms, constructive algorithms, hybrid algorithms, and evolutionary algorithms. These algorithms can produce near optimal solutions. Most of these algorithms use hill-climbing method and may stuck at local minima. In this paper a learning automata based algorithm called survival algorithm, for determination of the number of hidden units of three layers neural networks is proposed. The proposed algorithm uses learning automaton as a global search method in order to increase the probability of escaping from local minima and hence to increase the probability of obtaining the optimal topology. In survival algorithm, the training begins with a large network, and then by adding and deleting hidden units the optimal topology is obtained.

کلمات کلیدی

ساختار شبکه عصبی، آموزش شبکه عصبی، اتوماتان یادگیر، الگوریتم انتشار خطا به عقب، شبکه های سه لایه.

مقدمه

شبکه های عصبی دارای کاربردهای زیادی می باشند [۲۹] [۴۱]. بیشتر این کاربردها از شبکه های عصبی چند لایه پرسپترون^۱ استفاده می کنند. شبکه های عصبی چند لایه پرسپترون^۱ (که به اختصار شبکه های عصبی چند لایه نامیده می شوند)، شبکه های پیش خوری^۲ هستند که در آنها یک یا بیشتر لایه مخفی بین لایه های ورودی و خروجی وجود دارد. در این شبکه ها معمولاً اتصال های بین لایه ها کامل در نظر گرفته می شود و ورودی های واحدهای هر لایه فقط به خروجی لایه قبل از خود متصل هستند. شکل ۱ یک شبکه عصبی^۳ - لایه پرسپترون^۱ را که در این مقاله مدنظر می باشد، نشان می دهد.



شکل (۱) شبکه عصبی ۳ - لایه پرسپترون^۱.

شبکه عصبی چند لایه پرسپترون^۱ توسط رزنبلت^۴ پیشنهاد شد [۴۱] که در آن از تابع پله^۴ برای تابع فعالیت^۵ واحدها استفاده گردیده است. فقدان یک الگوریتم یادگیری مناسب یکی از محدودیت هایی است که شبکه های چند لایه پرسپترون^۱ دارا هستند. یک روش معمول برای آموزش چنین شبکه هایی، استفاده از روش تکراری نزول در امتداد گرادیان می باشد که به دلیل عدم مشتق پذیری تابع پله این روش قابل استفاده نیست. استفاده از یک تابع غیرخطی مشتق پذیر برای تابع

کارایی الگوریتم آموزش انتشار خطا به عقب برای یک کاربرد، به میزان زیادی به ساختار شبکه عصبی (تعداد لایه های مخفی، تعداد واحدهای مخفی در هر لایه و اتصالات بین آنها) وابسته است. برای ارزیابی کارایی شبکه های عصبی معیارهای متعددی پیشنهاد شده است. پیچیدگی آموزش، قدرت حافظه و قدرت تعمیم شبکه از آن جمله اند. ابتدا معیارهای فوق به طور خلاصه تعریف و سپس رابطه ساختار شبکه با این معیارها بحث خواهد شد.

پیچیدگی آموزش^۸

پیچیدگی آموزش شبکه در واقع همان پیچیدگی زمانی الگوریتم آموزش می باشد که بستگی به کاربرد مورد نظر، ساختار شبکه و الگوریتم آموزش دارد.

قدرت حافظه^۹

توان شبکه در دادن پاسخ صحیح به نمونه های آموزشی را قدرت حافظه شبکه می نامند. هر چه این قابلیت بیشتر باشد، شبکه به تعداد بیشتری از نمونه های آموزشی پاسخ صحیح می دهد.

قدرت تعمیم^{۱۰}

قدرت تعمیم شبکه درصد پاسخ های صحیح یا نزدیک به صحیح به ورودی هایی است که شبکه در حین آموزش ندیده است (الگوهای آزمایشی). هر چه تعداد پاسخ های مناسب شبکه به اینگونه ورودی ها بیشتر باشد، قدرت تعمیم شبکه بیشتر خواهد بود. حال به بررسی رابطه معیارهای فوق و ساختار شبکه می پردازیم.

رابطه ساختار با پیچیدگی آموزش

الگوریتم های یادگیری شبکه های چند لایه عموماً از روش نزول در امتداد گرادیان استفاده می کنند که همگرایی آنها به شکل سطح خطا که خود بستگی به تعداد واحدهای مخفی دارد، وابسته است. تنها نتیجه ای که در ارتباط با رابطه شکل سطح خطا و ساختار شبکه عصبی گزارش شده است، مربوط به شبکه های عصبی سه لایه می باشد. طبق [۴۰] اگر تعداد واحدهای مخفی در یک شبکه عصبی سه لایه به اندازه یک واحد کمتر از داده های آموزشی انتخاب شود، سطح خطای این شبکه بدون پستی و بلندی (حداقل محلی) خواهد بود. در صورتی که

فعالیت این مشکل را حل می کند. الگوریتم آموزش انتشار خطا^۸ به عقب که در شکل (۲) نشان داده شده است یک روش برای آموزش شبکه های عصبی چند لایه پرسپترون می باشد. در این الگوریتم، یک الگو به شبکه داده می شود. مقایسه پاسخ شبکه با پاسخ مورد نظر برای این الگو، این قابلیت را می دهد که وزن ها به گونه ای تنظیم شوند تا شبکه در زمان های بعد، پاسخ دقیق تری را تولید نماید [۲۹].

procedure StandardBackPropagationAlgorithm

input:
Training Set (X, T), where X is inputs & T is desired outputs
output:
Network Weight Vector: W

Initialize the W to small random values
repeat
for all training pair (X, T) in training set do
call FeedForward
call ComputeGradient
end for
call UpdateWeights
until termination condition Satisfied
return W
end procedure

شکل (۲) الگوریتم آموزش انتشار خطا به عقب.

الگوریتم آموزش انتشار خطا به عقب از روش جستجو در امتداد گرادیان برای حداقل نمودن تابع هزینه زیر (مجموع مربعات خطا) استفاده می کند.

$$E(n) = \frac{1}{2} \sum_{p=1}^{\#patterns} \sum_{j=1}^{\#outputs} [T_{p,j} - O_{p,j}]^2$$

که #patterns و #outputs به ترتیب تعداد الگوهای آموزشی و تعداد واحدهای لایه خروجی شبکه می باشند و $T_{p,j}$ و $O_{p,j}$ به ترتیب پاسخ مورد نظر و پاسخ حقیقی شبکه برای الگوی آموزشی p در واحد خروجی j را نشان می دهند. برای حداقل نمودن تابع هزینه، در قدم n ام وزن های شبکه به صورت زیر بهنگام می گردند.

$$W(n+1) = W(n) - \eta \nabla E(n) + \alpha [W(n) - W(n-1)]$$

که W بردار وزن، η نرخ یادگیری، α ضریب گشتاور و $\nabla E(n)$ گرادیان خطا نسبت به وزن ها در قدم n ام می باشد.

سطح خطا دارای پستی و بلندی باشد، ممکن است الگوریتم یادگیری در حداقل‌های محلی گرفتار شود و قادر به آموزش شبکه نباشد.

رابطه ساختار و قدرت تعمیم

فرایند یادگیری در شبکه‌های عصبی را می‌توان به عنوان یک عمل تقریب تابع در نظر گرفت که در آن شبکه یک نگاشت غیرخطی بین ورودی و خروجی ایجاد می‌نماید. با این تعبیر، قدرت تعمیم شبکه همان قابلیت درونیابی^{۱۱} روی الگوهای آموزشی است [۴۱]. خطای درونیابی برای الگوهای آموزشی یا الگوهای آزمایشی به تعداد واحدهای مخفی شبکه بستگی دارد. اگر تعداد واحدهای مخفی کم باشد، تابعی که توسط شبکه تقریب زده می‌شود هموار است و در نتیجه شبکه ویژگی‌های داده‌های آموزشی را بهتر یاد می‌گیرد و به همین دلیل قدرت تعمیم شبکه بالا خواهد بود. در صورتی که تعداد واحدهای مخفی زیاد باشد، تابع تقریب زده شده از تمام یا بیشتر نقاط الگوهای آموزشی عبور می‌کند و در نتیجه شبکه به جای یاد گرفتن ویژگی‌های داده‌های آموزشی، الگوهای آموزشی را به خاطر می‌سپارد و به همین دلیل خطای آن در مواجهه با داده‌هایی که ندیده است زیاد می‌گردد و در نتیجه قدرت تعمیم شبکه کم می‌شود.

رابطه ساختار با قدرت حافظه

قدرت حافظه شبکه نشان دهنده خطای آموزش شبکه است. در صورتی که مقدار خطای آموزش شبکه کم باشد، قدرت حافظه بالا و در صورت زیاد بودن خطای آموزش شبکه قدرت حافظه پایین می‌باشد. از طرفی خطای آموزش شبکه با تعداد واحدهای مخفی رابطه معکوس دارد، زیرا در صورتی که تعداد واحدهای شبکه کم باشد امکان عبور از همه نقاط مشخص شده توسط الگوهای آموزشی کم می‌شود و در نتیجه شبکه ویژگی‌های الگوهای آموزشی را به خاطر می‌سپارد. در صورتی که تعداد واحدهای شبکه بالا باشد، امکان عبور از این نقاط زیاد است. چنین شبکه‌ای مشابه یک جدول عمل می‌کند و فقط الگوهای آموزشی را به خاطر می‌سپارد و به همین دلیل دارای قدرت حافظه بالا خواهد بود. بنابراین قدرت حافظه یک شبکه با تعداد واحدهای مخفی آن رابطه مستقیم دارد.

باتوجه به مباحث انجام گرفته در چند پاراگراف قبل واضح است که معیارهای فوق‌الذکر به همدیگر وابسته

هستند و افزایش یکی از آنها ممکن است منجر به کاهش دیگری شود مثلاً افزایش قدرت تعمیم شبکه سبب کاهش قدرت حافظه آن می‌شود. توازن بین این معیارها از وظایف الگوریتم آموزش شبکه است. توازن بین این معیارها در صورتی برقرار می‌شود که ساختار مناسب برای شبکه انتخاب شده باشد. در حال حاضر هیچ روش تحلیلی برای تعیین ساختار مناسب شبکه برای یک مسئله وجود ندارد و ساختار مناسب را تنها برای مسائل و شبکه‌های بخصوصی و برای افزایش معیار مشخصی می‌توان تعیین نمود. مثلاً در یک شبکه سه لایه، برای تولید یک نگاشت صحیح N الگوی ورودی، تعداد واحد-های مخفی لازم برابر با $N-1$ می‌باشد [۲] [۱۰] [۳۵] و الزاماً این ساختار مناسب‌ترین ساختار نیست و توازن بین همه معیارها را برقرار نمی‌کند، زیرا در این شرایط تنها قدرت حافظه حداکثر می‌شود.

یک شبکه عصبی را می‌توان توسط یک گراف $E = (V, E)$ نمایش داد که V مجموعه واحدها و E مجموعه وزن‌های شبکه می‌باشد. روش‌های بهینه‌سازی ساختار شبکه از وضعیت^{۱۲} موجود شبکه $(V_1, E_1) = N_1$ به دنبال یافتن وضعیت مناسب‌تر شبکه $(V_2, E_2) = N_2$ هستند. الگوریتم بهینه‌سازی ساختار شبکه را می‌توان به عنوان یک نگاشت به صورت $N \rightarrow N$ تعریف نمود که از روی ساختار N_1 ساختار N_2 را پیدا می‌کند. فضای جستجو را نیز می‌توان به عنوان یک گراف $A = (N, \delta)$ در نظر گرفت که N مجموعه گره‌ها و δ مجموعه کمان‌های این گراف است. هر گره از این گراف یک ساختار از شبکه را نشان می‌دهد و کمان‌های این گراف نمایانگر نگاشت در الگوریتم تعیین ساختار شبکه می‌باشد. هدف الگوریتم‌های تعیین ساختار شبکه، پیمایش این گراف به منظور پیدا کردن مناسبترین گره (شبکه) با حداقل هزینه می‌باشد.

طراحی یک شبکه با ساختار بهینه یک مسئله NP-Hard است [۱۴]. به همین جهت بیشتر الگوریتم‌های ارائه شده برای تعیین ساختار شبکه‌های عصبی، الگوریتم‌های تقریبی هستند. این الگوریتم‌ها قبل، در حین یا بعد از یادگیری ساختار مناسب برای شبکه را تعیین می‌نمایند. بعضی از این الگوریتم‌ها از اطلاعات محلی و بعضی دیگر از اطلاعات عمومی برای یافتن ساختار مناسب استفاده می‌کنند. این الگوریتم‌ها را می‌توان به چهار گروه زیر تقسیم کرد:

الف - الگوریتم‌های هرس^{۱۳}

این الگوریتم‌ها از یک شبکه بزرگ شروع نموده و به تدریج در حین آموزش یا بعد از آن واحدها یا وزن‌های اضافی را از شبکه هرس می‌کنند. در این الگوریتم‌ها نیاز است که تعداد واحدهای مخفی را در ابتدای آموزش مشخص نماییم. البته این مشکل حادی را ایجاد نمی‌کند زیرا کران بالای تعداد واحدهای مخفی برای یک مسئله معین و برای بعضی از انواع شبکه‌ها مشخص است [۲] [۱۰] [۲۵]. این الگوریتم‌ها هم از مزایای شبکه‌های بزرگ (کم بودن پیچیدگی آموزش و دوری از حداقل‌های محلی) و هم از مزایای شبکه‌های کوچک (قدرت تعمیم بالا) بهره می‌برند. در این الگوریتم‌ها برای دو وضعیت متوالی $N_1 = (V_1, E_1)$ و $N_2 = (V_2, E_2)$ دو شرط $V_1 \subseteq V_2$ و $E_2 \subseteq E_1$ برقرار می‌باشد [۵] [۱۱] [۱۲] [۳۱] [۳۰].

ب - الگوریتم‌های سازنده^{۱۴}

این الگوریتم‌ها با یک شبکه کوچک شروع می‌کند و به تدریج در حین آموزش شبکه، واحد یا لایه مخفی به شبکه می‌افزایند. این الگوریتم‌ها معمولاً شبکه‌های کوچکی را تولید می‌کنند که دارای پیچیدگی آموزش بالایی هستند [۱۲]. در این الگوریتم‌ها برای دو ساختار متوالی $N_1 = (V_1, E_1)$ و $N_2 = (V_2, E_2)$ دو شرط $V_1 \subseteq V_2$ و $E_1 \subseteq E_2$ برقرار می‌باشد [۳] [۶] [۷] [۱۳] [۱۶] [۱۹] [۲۲] [۲۳] [۲۹].

ج - الگوریتم‌های ترکیبی

این گروه از الگوریتم‌ها، از ترکیبی از الگوریتم‌های سازنده و الگوریتم‌های هرس برای تعیین ساختار شبکه استفاده می‌کنند. در این الگوریتم‌ها برای رسیدن به شبکه مطلوب می‌توان وزن، واحد یا لایه را کم یا زیاد نمود [۹] [۲۴].

د - الگوریتم‌های تکاملی^{۱۵}

در این الگوریتم‌ها تعیین ساختار بهینه برای شبکه از طریق جستجو در فضای ساختارها انجام می‌گیرد. هر نقطه از این فضا نماینده یک ساختار شبکه است. الگوریتم جستجو با استفاده از یک معیار کارایی مانند حداقل خطا یا پیچیدگی آموزش به دنبال مناسب‌ترین ساختار می‌باشد [۱] [۱۵] [۳۳] [۳۷] [۳۸]. برای اطلاعات بیشتر در مورد الگوریتم‌های فوق

می‌توانید به مرجع [۴] مراجعه نمایید.

در این مقاله روشی براساس اتوماتان‌های یادگیر^{۱۶} برای تعیین ساختار نزدیک به بهینه شبکه‌های عصبی سه لایه (ساختار با حداقل تعداد واحدهای مخفی) پیشنهاد شده است. این روش، آموزش را با یک شبکه بزرگ شروع می‌کند و اتومان یادگیر با افزودن و کاستن واحدها سعی در پیدا کردن ساختار مناسب برای شبکه را دارد. هر چند ممکن است این الگوریتم را در گروه الگوریتم‌های ترکیبی قرار داد، زیرا واحدهای مخفی هم هرس و هم اضافه می‌شوند، اما هدف استفاده از الگوریتم‌های سازنده یا الگوریتم‌های هرس یا ترکیبی از آنها نیست بلکه تعیین ساختار شبکه به عنوان مسئله افراز^{۱۷} مجموعه تعریف شده است.

بخش‌های بعدی مقاله به صورت زیر سازماندهی شده است. مقدمه ای بر اتوماتان‌های یادگیر در بخش ۲ آمده است. اتوماتان پیشنهادی و الگوریتم بقا برای تعیین ساختار شبکه‌های عصبی سه لایه به ترتیب در بخش‌های ۳ و ۴ بیان شده‌اند. نتایج آزمایش‌ها برای مسائل مختلف در بخش ۵ و بررسی رفتار اتوماتان پیشنهاد شده در بخش ۶ آمده است. آخرین بخش این مقاله نتیجه‌گیری می‌باشد.

۲ - اتوماتان‌های یادگیر

یادگیری در اتوماتان‌های یادگیر، انتخاب یک اقدام^{۱۸} بهینه از میان یک مجموعه از اقدام‌های مجاز می‌باشد. این اقدام روی یک محیط تصادفی اعمال می‌شود و محیط به این اقدام اتوماتان به وسیله یک پاسخ از مجموعه پاسخ‌های مجاز جواب می‌دهد. پاسخ محیط به صورت آماری به اقدام اتوماتان وابسته است. اصطلاح محیط شامل اجتماع تمام شرایط خارجی و تأثیرات آنها روی عملکرد اتوماتان می‌باشد.

محیط به صورت سه تایی (α, β, γ) نشان داده می‌شود. مجموعه $\alpha = \{\alpha_1, \dots, \alpha_r\}$ مجموعه ورودی‌ها، مجموعه $\beta = \{\beta_1, \dots, \beta_r\}$ مجموعه احتمالات c_i شکست اقدام α_i می‌باشد) و مجموعه $\gamma = \{\beta_1, \beta_2\}$ خروجی دودویی محیط می‌باشد [۲۵]. اتصال یک اتوماتان با محیط در شکل (۲) نشان داده شده است.

طور مختصر چند اتوماتان با ساختار ثابت شرح داده می‌شود. برای اطلاعات بیشتر در مورد اتوماتان‌های با ساختار متغیر به مراجع [۱۷] [۲۵] [۴۴] [۴۵] [۴۶] مراجعه نمایید.

الف - اتوماتان Tsetline ($L_{2N,2}$)

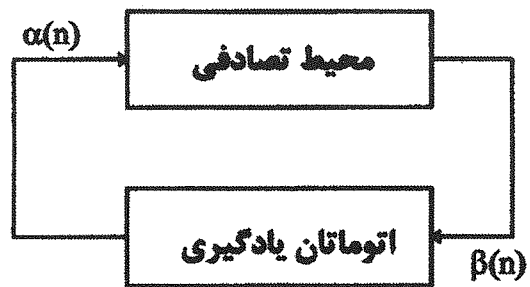
این اتوماتان $2N$ وضعیت و 2 اقدام دارد و سعی دارد از رفتار گذشته محیط برای تصمیم‌گیری‌های آینده خود استفاده نماید. این اتوماتان تعداد پاسخ‌های دریافت شده برای هر اقدام را می‌شمارد و در صورتی اقدام خود را تغییر می‌دهد که تعداد پاسخ‌های ناموفق بیشتر از تعداد پاسخ‌های موفق و یا عدد ثابت N (عمق حافظه) باشد. برای هر پاسخ دریافت شده موفق (ناموفق)، اتوماتان به سمت وضعیت‌های داخلی تر (وضعیت‌های خارجی تر) اقدام انتخاب شده حرکت می‌کند. گراف تغییر حالت اتوماتان در شکل (۴) نشان داده شده است.

ب - اتوماتان Krinsky

عملکرد این اتوماتان برای پاسخ ناموفق محیط مانند عملکرد اتوماتان Tsetline است. اما برای پاسخ‌های موفق محیط، این اتوماتان به داخلی‌ترین وضعیت اقدام انتخاب شده حرکت می‌کند. یعنی برای هر پاسخ موفق، N پاسخ متوالی ناموفق لازم است تا اقدام اتوماتان تغییر نماید. گراف تغییر حالت اتوماتان در شکل (۵) نشان داده شده است.

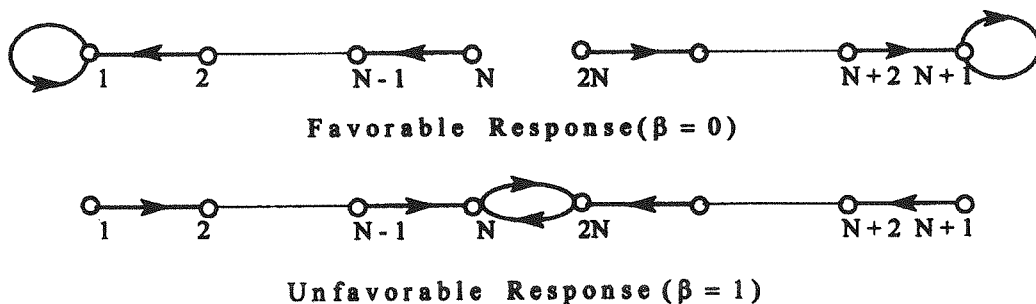
ج - اتوماتان Krylov

عملکرد این اتوماتان برای پاسخ موفق محیط مانند عملکرد اتوماتان Tsetline است. اما برای پاسخ‌های ناموفق محیط، این اتوماتان با احتمال مساوی به وضعیت بعد یا قبل از خود حرکت می‌کند. گراف تغییر



شکل (۳) اتصال اتوماتان یادگیری با محیط.

اتوماتان‌های یادگیر به دو خانواده اتوماتان یادگیر با ساختار ثابت^{۱۹} و اتوماتان یادگیر با ساختار متغیر^{۲۰} دسته‌بندی می‌شوند. اتوماتان‌های Krinsky, Tsetline و Krylov مثال‌هایی از خانواده اتوماتان‌های با ساختار ثابت هستند. یک اتوماتان یادگیر با ساختار ثابت را می‌توان با یک پنج‌تایی $\{\alpha, \Phi, \beta, E, G\}$ نشان داد. که $\alpha = \{\alpha_1, \alpha_2, \dots, \alpha_r\}$ مجموعه اقدام‌های مجاز برای اتوماتان یادگیر، $\Phi = \{\Phi_1, \Phi_2, \dots, \Phi_s\}$ وضعیت‌های اتوماتان، $\beta = \{0, 1\}$ مجموعه ورودی‌ها (در این مجموعه یک نمایانگر شکست^{۲۱} و صفر نمایانگر موفقیت^{۲۲} می‌باشد)، $F: \Phi \times \beta \rightarrow \Phi$ تابع نگاشت وضعیت‌ها و $G: \Phi \rightarrow \alpha$ تابع نگاشت خروجی می‌باشد. اقدام اتوماتان به عنوان ورودی به محیط داده می‌شود و محیط بعد از اعمال اقدام داده شده توسط اتوماتان یک پاسخ تصادفی که می‌تواند موفق یا ناموفق باشد را تولید می‌کند که به عنوان ورودی به اتوماتان داده می‌شود. اتوماتان با توجه به پاسخ محیط اقدام مربوطه را جریمه می‌کند و یا به آن پاداش می‌دهد. اگر احتمال تغییر وضعیت‌ها در اتوماتان ثابت باشد، آن را اتوماتان یادگیر با ساختار ثابت و در غیر این صورت آن را اتوماتان یادگیر با ساختار متغیر می‌نامند. در ادامه به



شکل (۴) اتوماتان Tsetline.

حالت اتوماتان در شکل (۶) نشان داده شده است.

ملاک های رفتاری اتوماتان^{۲۲}

برای بررسی یادگیری در اتوماتان، وضعیت آن را با گذشت زمان بررسی می کنند. یک معیار برای بررسی رفتار اتوماتان، متوسط جریمه دریافتی از محیط است که در زمان n برابر است با $M(n) = \sum_{k=1}^n c_k p_k(n)$. که c_k احتمال دریافت پاسخ ناموفق از محیط است در صورتی که اقدام k ام به محیط اعمال شود و $p_k(n)$ احتمال انتخاب اقدام k ام در زمان n می باشد. بدون هیچگونه اطلاعات قبلی، اقدام های اتوماتان با احتمال مساوی انتخاب می شوند. به اتوماتانی که اقدام های آن با احتمال مساوی انتخاب می شوند، اتوماتان شانسی^{۲۳} می گویند. در اتوماتان شانسی متوسط جریمه دریافتی $M_0 = \sum_{k=1}^n c_k$ برابر است با

یک اتوماتان را مصلحت گرا^{۲۴} می گویند اگر در زمان n (وقتیکه n به سمت بی نهایت میل نماید) متوسط جریمه دریافت شده کمتر از M_0 باشد یا به بیان دیگر بهتر از اتوماتان شانسی عمل نماید.

یک اتوماتان را بهینه^{۲۵} می گویند اگر در زمان n (وقتیکه n به سمت بی نهایت میل نماید) متوسط جریمه

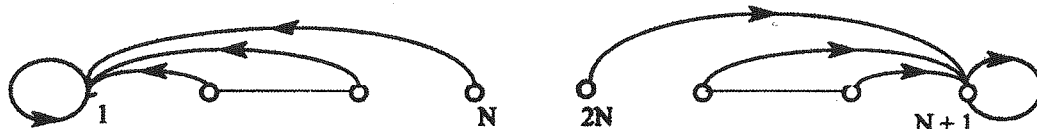
دریافت شده برابر $\min \{c_1, \dots, c_n\}$ باشد.

یک اتوماتان را ϵ -Optimal می گویند اگر برای هر $\epsilon > 0$ در زمان n (وقتیکه n به سمت بی نهایت میل نماید) متوسط جریمه دریافت شده کوچکتر از $\min \{c_1, c_2, \dots, c_n\} + \epsilon$ باشد.

با انتخاب مقادیر مناسب پارامترهای اتوماتان (مثلاً تعداد وضعیت های اتوماتان با ساختار ثابت) می توان به اتوماتان با رفتار مورد نظر دسترسی پیدا کرد.

اتوماتان های یادگیر دارای کاربردهای فراوانی می باشد. بعضی از این کاربردها عبارتند از: مسیریابی در شبکه های ارتباطی [۱۸]، فشرده سازی تصاویر [۸]، شاسایی الگو [۳۶]، برنامه ریزی فرایندها^{۲۶} در یک شبکه کامپیوتری [۲۵]، تئوری صف [۲۱]، کنترل دسترسی در شبکه های انتقال ناهمزمان [۱۷]، کمک به آموزش شبکه های عصبی [۲۰] و دسته بندی و افراز اشیاء [۲۶].

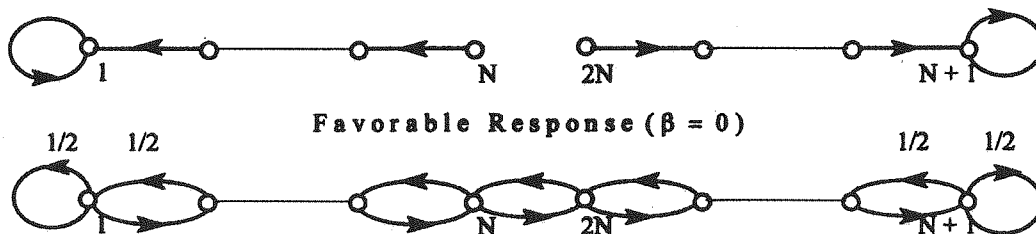
در صورتی که اتوماتان های یادگیر برای دسته بندی یا افراز اشیاء استفاده شوند، علیرغم سرعت همگرایی خوب دارای تعداد اقدام های بسیار بالا خواهند بود [۲۶]. برای پایین آوردن تعداد خروجی ها، اتوماتان مهاجرت اشیاء^{۲۴} توسط اومن^{۲۵} و ما^{۲۶} پیشنهاد شده



شکل (۵) اتوماتان Krinsky.



شکل (۶) اتوماتان Krylov.



شکل (۶) اتوماتان Krylov.

است [۲۶]. تعداد اقدام های این اتوماتان به مراتب کمتر از اتوماتان های قبلی است ولی در عوض سرعت همگرایی آن پایین تر می باشد.

اتوماتان مهاجرت اشیاء

اتوماتان مهاجرت اشیاء توسط پنج تایم ——— اتوماتان $(\alpha, \beta, \Gamma, E, \Phi)$ نشان داده می شود [۲۶]. که $\alpha = \{\alpha_1, \alpha_2, \dots, \alpha_r\}$ مجموعه اقدام های مجاز، $\beta = \{0, 1\}$ وضعیت ها، $\Phi = \{\Phi_1, \Phi_2, \dots, \Phi_S\}$ مجموعه ورودی ها، $F: \Phi \times \beta \rightarrow \Phi$ تابع نگاشت وضعیت ها و $G: \Phi \rightarrow \alpha$ تابع نگاشت خروجی اتوماتان می باشند. این نوع اتوماتان برای دسته بندی اشیاء [۲۶]، انتساب حروف به کلیدها [۲۷]، افراز گراف [۲۷] [۲۸] و تناظر گراف [۲۷] [۲۹] مورد استفاده قرار گرفته است.

در این اتوماتان هر اقدام یک دسته را نشان می دهد. در اتوماتانهای با ساختار ثابت، پاسخ محیط به اتوماتان سبب می شود که اتوماتان از یک وضعیت به وضعیت دیگر منتقل شود، در صورتی که در اتوماتان مهاجرت اشیاء، اشیاء به وضعیت ها انتساب داده می شوند و پاسخ محیط به اتوماتان سبب گردش اشیاء در بین وضعیت های اتوماتان می گردد. از طریق این گردش دسته بندی اشیاء انجام می گیرد.

اگر شی W_i در اقدام z ام اتوماتان مهاجرت اشیاء قرار داشته باشد، این شیء متعلق به دسته شماره z است. برای اقدام α_k مجموعه وضعیت ——— $\{\Phi_{(k-1)N+1}, \dots, \Phi_{kN}\}$ در نظر گرفته می شود که N عمق حافظه را نشان می دهد. بدون از دست دادن عمومیت بحث می توان $\Phi_{(k-1)N+1}$ را داخلی ترین وضعیت و Φ_{kN} را خارجی ترین وضعیت این اقدام در نظر گرفت. اگر دو شی W_i و W_j به ترتیب در وضعیت های $\Phi_{(k-1)N+1}$ و $\Phi_{(k-1)N+m}$ (برای $m > 1$) قرار داشته باشند، در این صورت احتمال تعلق شیء W_i به این دسته از احتمال تعلق شیء W_j بیشتر است. بنابراین برای اقدام α_k وضعیت $\Phi_{(k-1)N+1}$ وضعیت با بیشترین احتمال و وضعیت Φ_{kN} وضعیت با کمترین احتمال نامیده می شود.

۳- اتوماتان یادگیر تعیین تعداد واحدهای لایه مخفی^{۲۸}

در این قسمت یک اتوماتان از نوع مهاجرت اشیاء برای تعیین تعداد واحدهای لایه مخفی یک شبکه سه لایه

که توسط الگوریتم انتشار خطا به عقب آموزش داده می شود معرفی می گردد. وظیفه این اتوماتان دسته بندی واحدهای لایه مخفی به دو دسته واحدهای مناسب و واحدهای نامناسب می باشد. این اتوماتان به صورت یک شش تایی $(\alpha, \beta, \Gamma, E, \Phi)$ نشان داده می شود که در آن $\alpha = \{\alpha_1, \alpha_2\}$ - ۱ مجموعه اقدام های مجاز برای اتوماتان یادگیر است. این اتوماتان دو اقدام دارد که اقدام شماره یک آن اقدام مناسب یا واحدهای روشن نام دارد. واحدهایی که در این اقدام قرار دارند برای آموزش شبکه عصبی مورد استفاده قرار می گیرند. اقدام شماره دو آن اقدام نامناسب یا واحدهای خاموش نام دارد. واحدهایی که در این اقدام قرار می گیرند برای آموزش شبکه عصبی مورد استفاده قرار نمی گیرند.

۲- $H = \{H_1, H_2, \dots, H_n\}$ مجموعه واحدهای مخفی موجود در وضعیت های اتوماتان می باشد. اگر واحد H_i در اقدام شماره یک اتوماتان ظاهر شود، این واحد به عنوان واحد مخفی مناسب (روشن) و در غیر این صورت این واحد به عنوان واحد مخفی نامناسب (خاموش) در نظر گرفته می شود.

۳- $\Phi = \{\Phi_1, \Phi_2, \dots, \Phi_{2N}\}$ مجموعه وضعیت ها و N عمق حافظه برای اتوماتان می باشد. مجموعه وضعیت های این اتوماتان به دو زیر مجموعه $\{\Phi_1, \dots, \Phi_N\}$ و $\{\Phi_{N+1}, \dots, \Phi_{2N}\}$ افراز می شود و براساس اینکه واحدهای مخفی در چه وضعیتی قرار داشته باشند، دسته بندی می شوند. بر این اساس واحدهای روشن با مجموعه ——— $ON = \{H_i \mid 1 \leq \text{State}(H_i) \leq N\}$ و واحدهای خاموش با مجموعه $OFF = \{H_i \mid N+1 \leq \text{State}(H_i) \leq 2N\}$ نشان داده می شوند و $\text{State}(H_i)$ نشان دهنده وضعیتی است که واحد H_i در آن قرار دارد.

۴- $\beta = \{0, 1\}$ مجموعه ورودی های اتوماتان می باشد. در این مجموعه یک نمایانگر شکست و صفر نمایانگر موفقیت می باشد.

۵- $F: \Phi \times \beta \rightarrow \Phi$ تابع نگاشت وضعیت ها می باشد. این تابع از روی وضعیت فعلی ورودی اتوماتان وضعیت بعدی آن را تولید می نماید. در واقع این تابع چگونگی گردش واحدهای مخفی را در وضعیت های اتوماتان مشخص می کند. شرح کار کرد این تابع در قسمت بعدی خواهد آمد.

۶- $G: \Phi \rightarrow \alpha$ تابع نگاشت خروجی می باشد. این تابع تصمیم می گیرد که به ازای هر وضعیت، اتوماتان

چه اقدامی را انجام دهد. اگر واحد H_i متعلق به مجموعه وضعیت های $\{\Phi_1, \Phi_2, \dots, \Phi_N\}$ باشد، این واحد روشن در نظر گرفته می شود. اگر واحد در وضعیت Φ_1 قرار داشته این مناسبترین واحد است و بیشترین اهمیت را دارا می باشد. اگر در وضعیت Φ_N قرار داشته باشد، دارای کمترین اهمیت می باشد. اقدام شماره دو نیز بهمین صورت می باشد. اگر واحد متعلق به مجموعه وضعیت های $\{\Phi_{N+1}, \dots, \Phi_{2N}\}$ باشد واحد را خاموش در نظر می گیریم. اگر واحد در وضعیت Φ_{N+1} قرار داشته باشد، بیشترین اهمیت را دارد و اگر در وضعیت Φ_{2N} قرار داشته باشد، دارای کمترین اهمیت می باشد.

برای سهولت نمایش در ارائه مطالب، اتوماتان یادگیر تعیین تعداد واحدهای لایه مخفی با K اقدام، عمق حافظه N و انتساب M واحد مخفی توسط $HULA(K, N, M)$ نشان داده می شود. برای تشریح تابع نگاشت وضعیت ها چهار حالت زیر را در نظر می گیریم.

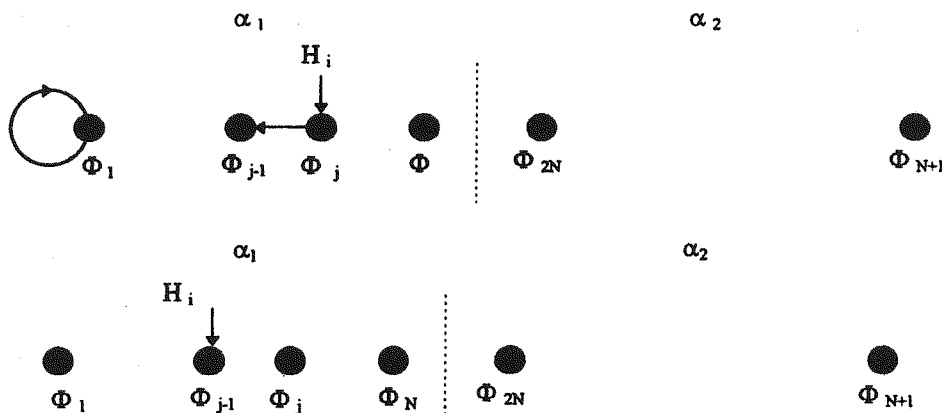
۱ - واحد مخفی H_i روشن است و در وضعیت Φ_j قرار دارد و به دلیل عملکرد مناسبش پاداش می گیرد. در

این صورت اهمیت این واحد بیشتر شده و به سمت وضعیت های داخلی تر این اقدام حرکت می کند. نحوه حرکت چنین واحدی در شکل (۷) نشان داده شده است.

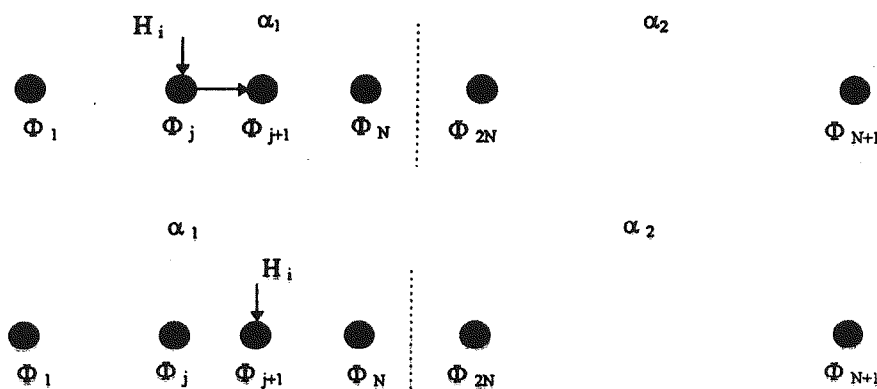
اگر واحد مخفی H_i در وضعیت Φ_1 قرار داشته باشد و پاداش بگیرد در همان وضعیت باقی می ماند.

۲ - واحد H_i روشن است و در وضعیت Φ_j قرار دارد و به دلیل عملکرد نامناسبش جریمه می شود. در این صورت از اهمیت این واحد کاسته شده و به سمت وضعیت های بیرونی تر حرکت می کند. نحوه حرکت چنین واحدی برای دو حالت مختلف در اشکال (۸) و (۹) نشان داده شده است.

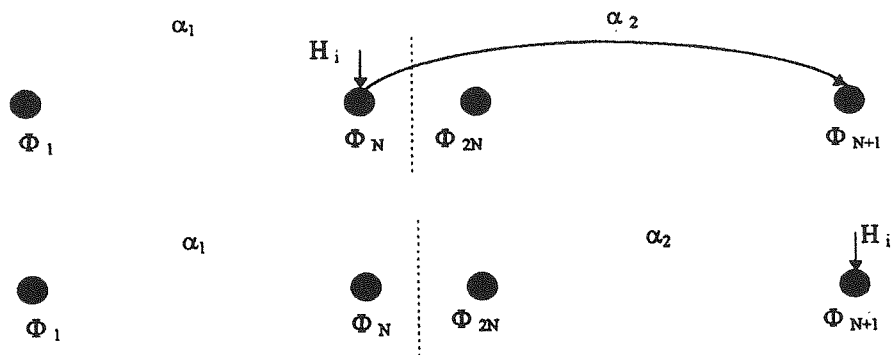
۳ - واحد مخفی H_i خاموش است و در وضعیت Φ_j قرار دارد و به دلیل عملکرد خوبش در گذشته جریمه می شود. در این صورت به واحدهای روشن نزدیکتر می شود یعنی به وضعیت های بیرونی تر منتقل می شود. نحوه حرکت چنین واحدی برای دو حالت مختلف در اشکال (۱۰) و (۱۱) نشان داده شده است.



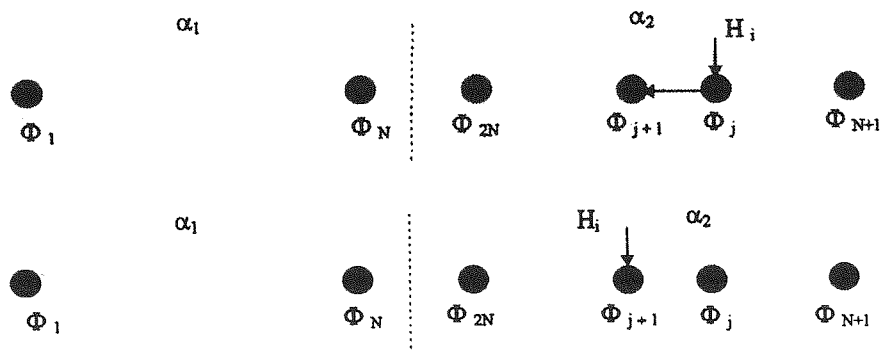
شکل (۷) نحوه دادن پاداش به يك واحد روشن.



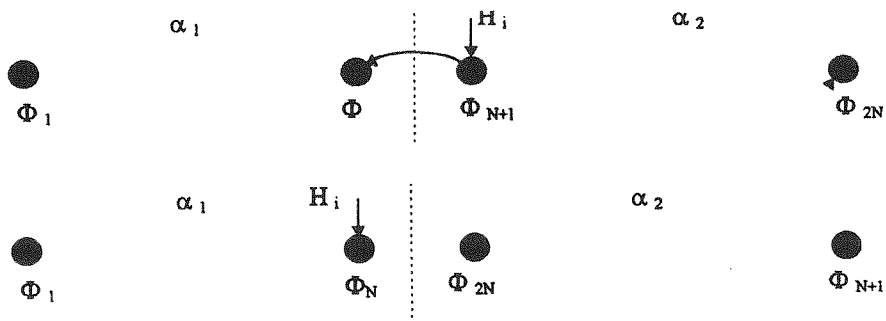
شکل (۸) نحوه دادن جریمه به يك واحد روشن برای يك وضعیت غیرمرزی.



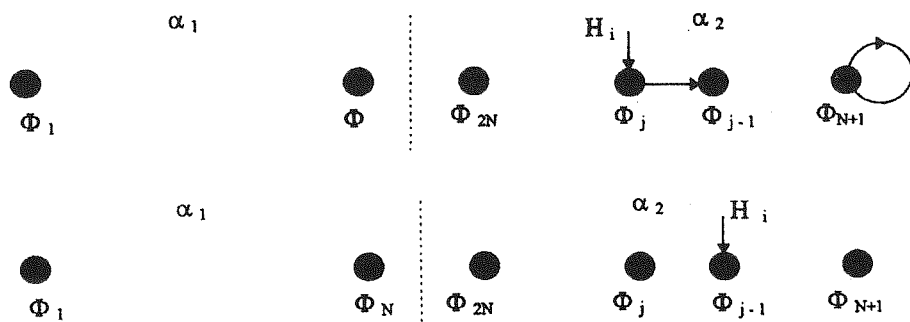
شکل (۹) نحوه دادن جریمه به يك واحد روشن برای يك وضعیت مرزی.



شکل (۱۰) نحوه جریمه شدن يك واحد خاموش برای يك وضعیت غیرمرزی.



شکل (۱۱) نحوه جریمه شدن يك واحد روشن برای يك وضعیت مرزی.



شکل (۱۲) نحوه دادن پاداش يك واحد خاموش.

۴ - واحد مخفی H_i خاموش است و در وضعیت Φ قرار دارد و به دلیل عملکرد نامناسبش در گذشته پاداش می‌گیرد، در این صورت اهمیت این واحد کمتر می‌شود و از واحدهای روشن دورتر می‌شود، یعنی به وضعیت‌های داخلی‌تر اتوماتان منتقل می‌شود. نحوه حرکت چنین واحدی در شکل (۱۲) نشان داده شده است.

اگر واحد مخفی H_i در وضعیت Φ_{2N} قرار داشته باشد و جریمه شود در همان وضعیت باقی می‌ماند.

۴ - الگوریتم تعیین تعداد واحدهای لایه مخفی

در این قسمت الگوریتمی معرفی می‌شود که با استفاده از اتوماتان یادگیر معرفی شده در قسمت قبل و الگوریتم انتشار خطا به عقب، ساختار بهینه شبکه را در حین آموزش مشخص می‌کند. طرز کار این الگوریتم به صورت زیر است.

در ابتدا همه واحدها در مجموعه واحدهای روشن و در وضعیت Φ_1 قرار می‌گیرند. به همه واحدهای روشن مدتی اجازه داده می‌شود تا در آموزش شبکه شرکت نمایند. واحدهایی که عملکرد آنها در این مدت مناسب نبوده جریمه می‌شوند، واحدهایی که عملکرد آنها خیلی خوب بوده پاداش می‌گیرند و واحدهایی که در مورد آنها نمی‌توان تصمیم‌گیری قطعی نمود بدون تغییر وضعیت باقی می‌مانند. برای تشخیص خوب یا بد بودن عملکرد یک واحد از متوسط انرژی مصرف شده آن واحد استفاده می‌شود. چگونگی تغییر فعالیت یک واحد به ازای همه الگوهای آموزشی، انرژی مصرف شده یک واحد نامیده می‌شود و توسط دو قانون مکاشفه‌ای زیر بیان می‌شود.

عملکرد خوب یک واحد: واحدی دارای عملکرد خوب می‌باشد، اگر به ازای همه الگوهای ورودی، مقدار فعالیت این واحد تغییرات زیادی داشته باشد. این بدان معنی است که اطلاعات ذخیره شده در وزن‌های این واحد مهم می‌باشد.

عملکرد بد یک واحد: واحدی دارای عملکرد بد می‌باشد، اگر به ازای همه الگوهای ورودی، مقدار فعالیت این واحد تغییرات کم داشته باشد. یعنی اطلاعات ذخیره شده در وزن‌های این واحد مهم نیستند.

تشخیص نحوه عملکرد یک واحد روشن

واحدی را که مقدار فعالیت آن به ازای همه الگوهای آموزشی از یک مقدار آستانه‌ای کمتر باشد واحد بد و اگر از مقدار فعالیت آن به ازای همه الگوهای آموزشی از یک مقدار آستانه‌ای دیگر بیشتر باشد واحد خوب می‌نامیم. برای تعیین مقادیر آستانه‌ای ابتدا واریانس فعالیت واحد به ازای همه الگوهای آموزشی به صورت زیر محاسبه می‌شود

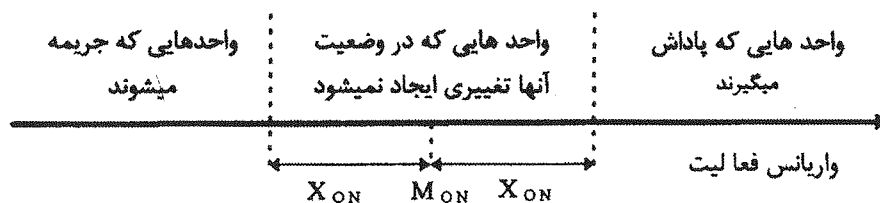
$$\sigma_I = \sqrt{\frac{\sum_{K=1}^P (|U_{IK}| - \mu_I)^2}{P}} \quad I \in ON$$

که در آن U_{IK} مقدار فعالیت واحد شماره I به ازای الگوی شماره K و P تعداد الگوهای آموزشی می‌باشد. μ_I نشان‌دهنده میانگین فعالیت واحد I است که به صورت زیر تعریف می‌شود.

$$\mu_I = \frac{\sum_{K=1}^P |U_{IK}|}{P} \quad I \in ON$$

پس از محاسبه واریانس فعالیت واحدهای روشن، واحدهای روشنی که واریانس فعالیت آنها از یک مقدار آستانه‌ای کمتر باشند، جریمه می‌شوند و واحدهای روشنی که واریانس فعالیت آنها از مقدار آستانه‌ای دیگری بیشتر باشند پاداش می‌گیرند. واحدهایی که واریانس فعالیت آنها بین این دو مقدار آستانه‌ای قرار می‌گیرند، تغییری در وضعیت آنها ایجاد نمی‌شود (شکل ۱۳).

مقدار M_{ON} که عبارتست از میانگین واریانس واحدهای روشن به صورت زیر محاسبه می‌شود.



شکل (۱۳) تشخیص مقدار آستانه واحدهای روشن.

زمان روشن بودن آن واحد محاسبه شده است. لذا فعالیت یک واحد خاموش را می توان به صورت زیر محاسبه نمود.

$$U_{IK}(n+1) = U_{IK}(n) e^{-\lambda_d |U_{IK}(n)|}$$

در رابطه فوق ثابت $\lambda_d \geq 0$ ضریب کاهش فعالیت نامیده می شود و n شاخص زمان را نشان می دهد. به این ترتیب مقدار فعالیت یک واحد خاموش به تدریج کم می شود. واریانس واحدهای خاموش به صورت زیر محاسبه می شود.

$$\sigma_I = \sqrt{\frac{\sum_{K=1}^P (|U_{IK}| - \mu_I)^2}{P}} \quad I \in \text{OFF}$$

که در آن U_{IK} مقدار فعالیت واحد خاموش شماره I به ازای الگوی شماره K و μ_I نشاندهنده میانگین فعالیت واحد خاموش I است که به صورت زیر تعریف می شود.

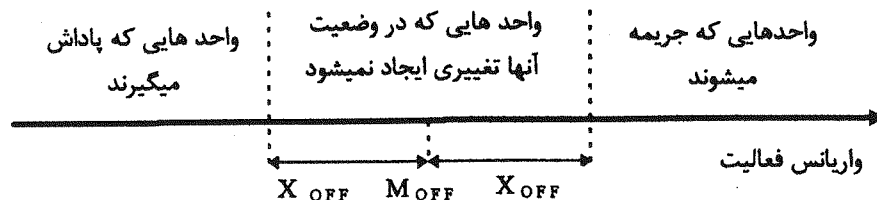
$$\mu_I = \sqrt{\frac{\sum_{K=1}^P U_{IK}}{P}} \quad I \in \text{OFF}$$

پس از محاسبه واریانس فعالیت واحدهای خاموش، واحدهای خاموشی که واریانس فعالیت آنها از یک مقدار آستانه ای کمتر باشند پاداش می گیرند و واحدهای خاموشی که واریانس فعالیت آنها از مقدار آستانه ای دیگر بیشتر باشد جریمه می شوند. واحدهایی که واریانس فعالیت آنها بین این دو مقدار آستانه ای قرار می گیرند تغییری در وضعیت آنها ایجاد نمی شود (شکل ۱۴).

و مقدار M_{OFF} که عبارتست از میانگین واریانس واحدهای خاموش و به صورت زیر محاسبه می شود.

$$M_{\text{OFF}} = \frac{\sum_{K \in \text{OFF}} \sigma_K}{|\text{OFF}|}$$

پهنای X_{OFF} در شکل (۱۴) به صورت زیر محاسبه می شود.



شکل (۱۴) تشخیص مقدار آستانه واحدهای خاموش.

$$M_{\text{ON}} = \frac{\sum_{K \in \text{ON}} \sigma_K}{|\text{ON}|}$$

که $|\text{ON}|$ تعداد اعضای مجموعه ON را نشان می دهد. پهنای X_{ON} در شکل فوق به صورت زیر محاسبه می شود.

$$X_{\text{ON}} = \lambda_{\text{on}} \frac{|\text{ON}| + |\text{OFF}|}{|\text{ON}|} \times \frac{\text{Max}(\sigma_{\text{ON}})}{\text{Min}(\sigma_{\text{ON}})}$$

در رابطه بالا ثابت $\lambda_{\text{on}} \geq 0$ ضریب پهنای روشنی نامیده می شود. $\text{Max}(\sigma_{\text{ON}})$ و $\text{Min}(\sigma_{\text{ON}})$ به ترتیب بیشترین و کمترین مقدار واریانس فعالیت واحدهای روشن می باشند و به صورت زیر محاسبه می گردند.

$$\text{Max}(\sigma_{\text{ON}}) = \text{Max}_{I \in \text{ON}} \{\sigma_I\}, \quad \text{Min}(\sigma_{\text{ON}}) = \text{Min}_{I \in \text{ON}} \{\sigma_I\}$$

واحدهایی که مقدار واریانس فعالیت آنها از $M_{\text{ON}} - X_{\text{ON}}$ کمتر باشد، جریمه می شوند. واحدهایی را که مقدار واریانس فعالیت آنها از $M_{\text{ON}} + X_{\text{ON}}$ بیشتر باشند، پاداش می گیرند و واحدهایی که مقدار واریانس آنها در فاصله $[M_{\text{ON}} - X_{\text{ON}}, M_{\text{ON}} + X_{\text{ON}}]$ قرار دارند، وضعیت آنها تغییر نمی کند.

تشخیص نحوه عملکرد یک واحد خاموش

واحدهایی که خاموش هستند، در آموزش شبکه شرکت نمی کنند، بنابراین فعالیت و واریانس فعالیت برای این واحدها وجود ندارد. در این صورت از فعالیت و واریانس فعالیت قبلی این واحدها برای مشخص شدن وضعیت کنونی آنها استفاده می شود. فعالیت یک واحد خاموش برای یک الگو براساس آخرین مقدار فعالیت این واحد در زمان روشن بودن برای آن الگو محاسبه می شود. اگر یک واحد برای مدت طولانی خاموش باشد از ارزش فعالیت آن کاسته می شود، زیرا نقطه ای که هم اکنون روی سطح خط محاسبه می شود به احتمال زیاد به نقطه جواب بسیار نزدیکتر از نقطه ای است که در

شبهه در شکل ۱۵ نشان داده شده است.

Algorithm Survival

```

input:
  Training Set (X, T)
  Maximum No. of Hidden Units: Hmax
output:
  Network Weight Vector: W
  Network Topology: Set of ON
repeat
  for m := 1 To K do
    call BP // After K steps hidden units are examined
  end for
  // Decrease the activation of off units
  for all I ∈ OFF do
    for k := 1 To P do
      Uik := exp(-λd | Uik |)
    end for
  end for
  for I := 1 To Hmax do
    Compute σI
  end for
  Compute MON, MOFF, XOFF, XON
  // Move the hidden units among the automatas' states
  for I := 1 to Hmax do
    if I ∈ ON then
      if σI < (MON - XON) then
        call PenalizeOnUnit (I)
      end if
      if σI > (MON + XON) then
        call RewardOnUnit (I)
      end if
    end if
    if I ∈ OFF then
      if σI < (MOFF - XOFF) then
        call RewardOFFUnit (I)
      end if
      if σI > (MOFF + XOFF) then
        call PenalizeOFFUnit (I)
      end if
    end if
  end for
until Termination Condition is Satisfied.
return (W, ON)
end Algorithm

procedure PenalizeOnUnit (I)
  inc (State (I))
end procedure

procedure RewardOnUnit (I)
  if State (I) > 1 then
    dec (State (I))
  end if
end procedure

procedure PenalizeOffUnit (I)
  if State (I) ≠ 2 * N then
    inc (State (I))
  else
    State (I) := N
  end if
end procedure

procedure RewardOffUnit (I)
  if State (I) ≠ N + 1 then
    dec (State (I))
  end if
end procedure

```

شکل (۱۵) الگوریتم بقا.

$$X_{OFF} = \lambda_{OFF} \frac{|ON| + |OFF|}{|OFF|} \times \frac{\text{Max}(\sigma_{OFF})}{\text{Min}(\sigma_{OFF})}$$

در رابطه بالا ثابت $\lambda_{OFF} \geq 0$ ضریب پهنای خاموشی نامیده می شود $\text{Max}(\sigma_{OFF})$ و $\text{Min}(\sigma_{OFF})$ به ترتیب بیشترین و کمترین مقدار واریانس فعالیت واحدهای خاموش هستند و به صورت زیر محاسبه می شوند.

$$\text{Max}(\sigma_{OFF}) = \text{Max}_{I \in \text{OFF}} \{\sigma_I\}, \quad \text{Min}(\sigma_{OFF}) = \text{Min}_{I \in \text{OFF}} \{\sigma_I\}$$

واحدهایی که مقدار واریانس فعالیت آنها از $M_{OFF} - X_{OFF}$ کمتر باشد، پاداش می گیرند. واحدهایی که مقدار واریانس فعالیت آنها از $M_{OFF} + X_{OFF}$ بیشتر باشد جریمه می شوند و واحدهایی که مقدار واریانس آنها در فاصله $[M_{OFF} - X_{OFF}, M_{OFF} + X_{OFF}]$ قرار دارد، تغییری در وضعیت آنها داده نمی شود.

برای استفاده از مزایای در حین آموزش شبکه ای بزرگ، در ابتدای آموزش شبکه حساسیت واحدها کم در نظر گرفته می شود تا رقابت بین واحدها کمتر باشد و پیچیدگی آموزش کاهش یابد و شبکه به راحتی بتواند از کمینه های محلی عبور نماید. این عمل با انتخاب مقدار کوچک برای شیب تابع فعالیت انجام می شود. اما زمانی که شبکه جواب تقریبی را تولید نمود حساسیت واحدها را به تدریج افزایش داده و از این طریق رقابت بین واحدها افزایش می یابد. این عمل با افزایش شیب تابع فعالیت انجام می شود. برای اینکه الگوریتم بتواند تطبیق شیب تابع فعالیت را به راحتی انجام دهد، مقدار شیب تابع فعالیت به صورت زیر تنظیم می شود.

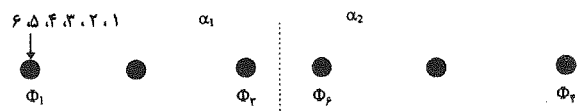
$$\gamma = e^{-\gamma_s \times \text{MSE}}$$

که γ شیب تابع سیگموئید $e^{-\lambda}$ ، $\gamma_s \geq 0$ ضریب تغییر شیب تابع فعالیت و MSE میانگین مربع خطا می باشد. زمانی که یک واحد از حالت خاموش به حالت روشن می رود برای تعیین مقادیر اولیه وزن های این واحد دو روش وجود دارد. روش اول استفاده از مقادیر تصادفی برای وزن های این واحد و روش دوم استفاده از وزن هایی است که در آخرین زمان روشن بودن محاسبه شده اند می باشد. به دلیل تغییر ابعاد فضای وزن ها، این مقادیر نیز می توانند به نوعی تصادفی تلقی شوند. در این مقاله از روش دوم برای تعیین مقادیر اولیه وزن ها استفاده شده است. الگوریتم بقا برای تعیین ساختار مناسب

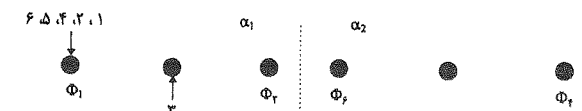
مثالی از عملکرد اتوماتان یادگیر تعیین تعداد واحدهای مخفی

برای روشن تر شدن نحوه کارکرد این اتوماتان مثالی در زیر آورده شده است. در این مثال از اتوماتان HULA (2, 6, 6) با ضرایب $\lambda_{OFF} = 0.01$ و $\lambda_{ON} = 0.05$ استفاده شده است. واریانس فعالیت واحدهای مخفی و نحوه کارکرد اتوماتان در هشت مرحله در جدول زیر آورده شده است.

مرحله اول: در ابتدای آموزش، همه واحدهای مخفی در وضعیت ۱ قرار می‌گیرند. در این مرحله وضعیت اتوماتان به صورت زیر است.

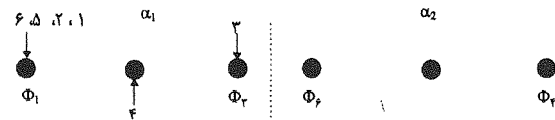


مرحله دوم: در این مرحله، واحد ۳ جریمه می‌شود و واحد ۶ پاداش می‌گیرد و بقیه واحدها تغییر وضعیت نمی‌دهند. در انتهای این مرحله وضعیت اتوماتان به صورت زیر می‌باشد.



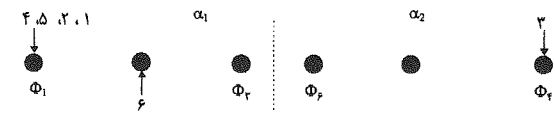
مرحله سوم: در این مرحله، واحدهای ۳ و ۴ جریمه می‌شوند و واحد ۶ پاداش می‌گیرد و بقیه واحدها تغییر

وضعیت نمی‌دهند. بعد از اتمام این مرحله وضعیت اتوماتان به صورت زیر است.

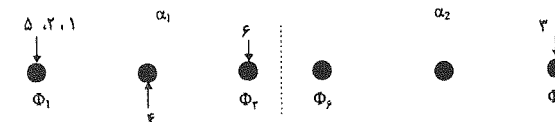


مرحله چهارم: در این مرحله اتوماتان تغییر وضعیت نمی‌دهد.

مرحله پنجم: در این مرحله، واحدهای ۳ و ۶ جریمه می‌شوند و واحد ۴ پاداش می‌گیرد و بقیه واحدها تغییر وضعیت نمی‌دهند. در انتهای این مرحله وضعیت اتوماتان به صورت زیر می‌باشد.



مرحله ششم: در این مرحله، واحدهای ۴ و ۶ جریمه می‌شوند و بقیه واحدها تغییر وضعیت نمی‌دهند. بعد از اتمام این مرحله وضعیت اتوماتان به صورت زیر است.



جدول (۱) واریانس فعالیت واحدها.

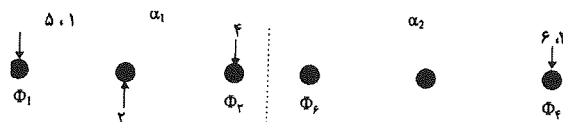
| پهنا | | میانگین | | واریانس فعالیت واحدها | | | | | |
|-----------|----------|-----------|----------|-----------------------|------|------|------|------|------|
| X_{OFF} | X_{ON} | M_{OFF} | M_{ON} | ۶ | ۵ | ۴ | ۳ | ۲ | ۱ |
| ۰ | ۰/۲ | ۰ | ۰/۴۲ | ۰/۱۸ | ۰/۳ | ۰/۲ | ۰/۳ | ۰/۴ | ۰/۱۶ |
| ۰ | ۰/۱۵ | ۰ | ۰/۳۸ | ۰/۱۶ | ۰/۴ | ۰/۳ | ۰/۲ | ۰/۳ | ۰/۱۶ |
| ۰ | ۰/۰۷ | ۰ | ۰/۲۵ | ۰/۳ | ۰/۲ | ۰/۳ | ۰/۲ | ۰/۲ | ۰/۳ |
| ۰ | ۰/۱۷ | ۰ | ۰/۴۲ | ۰/۲۵ | ۰/۳۵ | ۰/۷ | ۰/۲ | ۰/۱۶ | ۰/۱۵ |
| ۰/۰۶ | ۰/۲۱ | ۰/۱۵ | ۰/۵۲ | ۰/۲ | ۰/۷ | ۰/۳ | ۰/۱۵ | ۰/۷ | ۰/۷ |
| ۰/۰۶ | ۰/۱۷ | ۰/۱۲ | ۰/۴۳ | ۰/۲۵ | ۰/۷ | ۰/۳۵ | ۰/۱۲ | ۰/۲۵ | ۰/۷ |
| ۰/۰۶ | ۰/۱۷ | ۰/۱۵ | ۰/۵۲ | ۰/۲ | ۰/۳ | ۰/۴ | ۰/۱ | ۰/۷ | ۰/۷ |

براساس تکرار ارائه الگو (Epoch) به شبکه برای یک شبیه سازی نمونه را نشان می دهند.

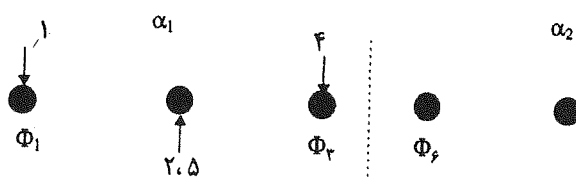
جدول (۲) نتایج شبیه سازی برای مسئله Parity سه بیتی.

| درصد تشخیص | متوسط مربع خطا | تعداد واحدهای مخفی | شبکه |
|------------|----------------|--------------------|-------|
| ۱۰۰ | ۰/۰۰۴۸۵۹ | ۵ | ۱ |
| ۱۰۰ | ۰/۰۰۴۹۱۹ | ۴ | ۲ |
| ۱۰۰ | ۰/۰۰۴۹۷۹ | ۳ | ۳ |
| ۱۰۰ | ۰/۰۰۴۹۸۴ | ۳ | ۴ |
| ۱۰۰ | ۰/۰۰۴۷۰۸ | ۵ | ۵ |
| ۱۰۰ | ۰/۰۰۴۸۴۹ | ۴ | ۶ |
| ۱۰۰ | ۰/۰۰۴۷۲۱ | ۴ | ۷ |
| ۱۰۰ | ۰/۰۰۴۷۷۸ | ۳ | ۸ |
| ۱۰۰ | ۰/۰۰۴۸۶۲ | ۴ | ۹ |
| ۱۰۰ | ۰/۰۰۴۹۹۳ | ۳ | ۱۰ |
| ۱۰۰ | ۰/۰۰۴۸۸۷ | ۴ | ۱۱ |
| ۱۰۰ | ۰/۰۰۴۸۳۷ | ۴ | ۱۲ |
| ۱۰۰ | ۰/۰۰۴۱۵۰ | ۳ | ۱۴ |
| ۱۰۰ | ۰/۰۰۴۷۸۸ | ۵ | ۱۵ |
| ۱۰۰ | ۰/۰۰۴۹۹۴ | ۳ | ۱۶ |
| ۱۰۰ | ۰/۰۰۴۸۹۲ | ۴ | ۱۷ |
| ۱۰۰ | ۰/۰۰۴۹۲۰ | ۴ | ۱۸ |
| ۱۰۰ | ۰/۰۰۴۷۷۰ | ۴ | ۱۹ |
| ۱۰۰ | ۰/۰۰۴۷۹۹ | ۵ | ۲۰ |
| ۱۰۰ | ۰/۰۰۴۵۸۴ | ۳/۷۲ | متوسط |

مرحله هفتم: در این مرحله، واحدهای ۲ و ۴ و ۶ جریمه می شوند و بقیه واحدها تغییر وضعیت نمی دهند. در انتهای این مرحله وضعیت اتوماتان به صورت زیر می باشد.

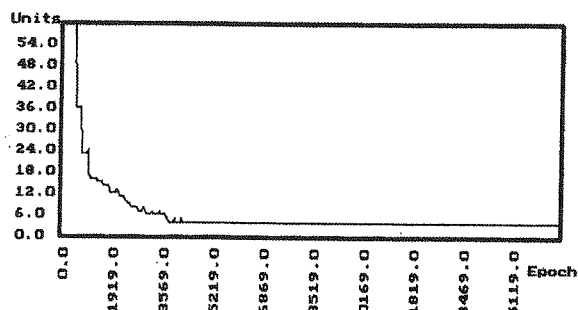


مرحله هشتم: در این مرحله، واحد ۵ جریمه می شود و بقیه واحدها تغییر وضعیت نمی دهند. بعد از اتمام این مرحله وضعیت اتوماتان به صورت زیر است.

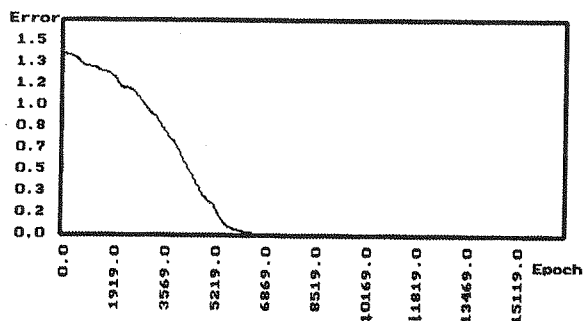


۵- نتایج شبیه سازی

برای نشان دادن کارایی های الگوریتم پیشنهاد شده، این الگوریتم روی پنج مسئله Parity سه بیتی، تشخیص اعداد لاتین، Encoding، تقارن و XOR که تعداد تقریبی واحدهای مخفی برای آنها مشخص است، آزمایش شده است. تعدادی از این آزمایشات در این بخش آورده شده است. برای تمامی این مسائل از اتوماتان (2, 7, 60) HULA استفاده شده است. لازم به ذکر است که برای آموزش شبکه ها از الگوریتم انتشار خطا به عقب استاندارد استفاده شده است.



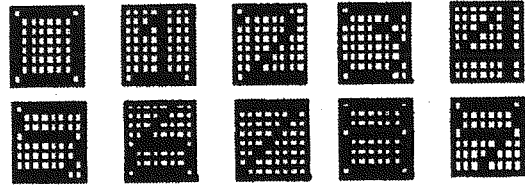
شکل (۱۶) منحنی تغییرات تعداد واحدهای مخفی براساس تکرار ارائه الگو.



شکل (۱۷) منحنی میانگین مربع خطا براساس تکرار ارائه الگو.

مسئله Parity سه بیتی: نشان داده شده است که برای تولید Parity الگوهای n بیتی، یک شبکه عصبی سه لایه که توسط الگوریتم انتشار خطا به عقب آموزش می یابد، نیاز به n واحد مخفی دارد [۲۹]. البته شبکه های با ساختارهای دیگر می توانند این مسئله را با دو واحد مخفی حل نمایند [۲۳]. الگوریتم بقا روی ۲۰ شبکه با وزن های اولیه تصادفی برای این مسئله آزمایش شده است و نتایج آن در جدول ۲ آمده است. لازم به ذکر است که در تمامی موارد آزمایش شده، الگوریتم بقا قادر به آموزش شبکه بوده است. شکل های ۱۶ و ۱۷ منحنی تغییرات تعداد واحدهای مخفی و میانگین مربع خطا

مسئله تشخیص اعداد لاتین: در این مسئله ده عدد وجود دارد که هر کدام از آنها توسط یک ماتریس 8×8 از نقطه های سیاه و سفید نشان داده می شود [۳۴]. الگوهای آموزشی برای این مسئله در شکل (۱۸) نشان داده شده است.

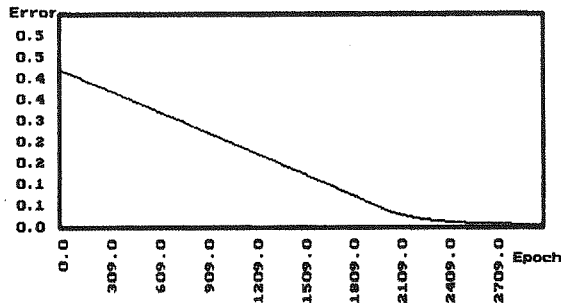


شکل (۱۸) الگوهای آموزشی برای مسئله تشخیص اعداد لاتین.

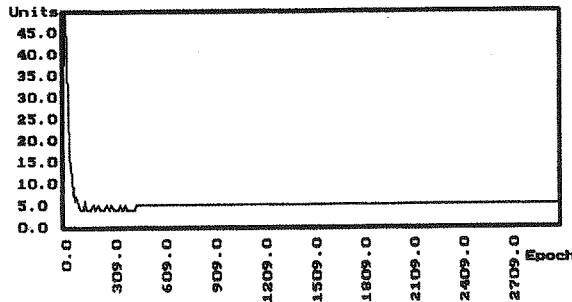
برای حل این مسئله توسط یک شبکه عصبی سه لایه که با الگوریتم انتشار خطا به عقب آموزش می بیند حداقل چهار واحد مخفی در لایه میانی مورد نیاز می باشد. این الگوریتم روی ۲۰ شبکه با وزن های اولیه تصادفی آزمایش شده اند و نتایج آن در جدول (۳) نشان داده شده است. لازم به ذکر است که در تمامی موارد آزمایش شده، الگوریتم پیشنهادی قادر به آموزش شبکه بوده است. شکل های ۱۹ و ۲۰ منحنی تغییرات تعداد واحدهای مخفی و میانگین مربع خطا براساس تکرار الگو (Epoch) HULA (2, 7, 50) به شبکه با استفاده از برای یک شبیه سازی نمونه را نشان می دهند.

جدول (۳) نتایج شبیه سازی برای مسئله اعداد لاتین.

| شبکه | تعداد واحدهای مخفی | متوسط مربع خطا | درصد تشخیص |
|-------|--------------------|----------------|------------|
| ۱ | ۵ | ۰/۰۴۹۲۷ | ۹۰ |
| ۲ | ۵ | ۰/۰۴۹۴۹ | ۹۰ |
| ۳ | ۵ | ۰/۰۴۸۵۸ | ۹۰ |
| ۴ | ۵ | ۰/۰۴۹۸۲ | ۹۰ |
| ۵ | ۵ | ۰/۰۴۶۲۸ | ۹۰ |
| ۶ | ۵ | ۰/۰۴۹۲۶ | ۹۰ |
| ۷ | ۵ | ۰/۰۴۸۰۹ | ۹۰ |
| ۸ | ۵ | ۰/۰۴۹۰۸ | ۹۰ |
| ۹ | ۵ | ۰/۰۴۹۱۹ | ۹۰ |
| ۱۰ | ۵ | ۰/۰۴۹۴۷ | ۹۰ |
| ۱۱ | ۵ | ۰/۰۴۸۶۰ | ۹۰ |
| ۱۲ | ۵ | ۰/۰۴۹۹۰ | ۹۰ |
| ۱۴ | ۵ | ۰/۰۴۸۷۰ | ۹۰ |
| ۱۵ | ۵ | ۰/۰۴۹۳۸ | ۹۰ |
| ۱۶ | ۵ | ۰/۰۴۹۵ | ۹۰ |
| ۱۷ | ۵ | ۰/۰۴۹۷ | ۹۰ |
| ۱۸ | ۴ | ۰/۰۴۹۷ | ۹۰ |
| ۱۹ | ۶ | ۰/۰۴۹۷ | ۹۰ |
| ۲۰ | ۵ | ۰/۰۴۸۳ | ۹۰ |
| متوسط | ۵ | ۰/۰۳۸۰ | ۹۰ |

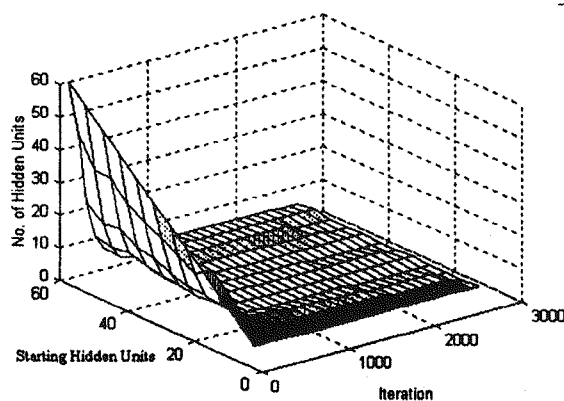


شکل (۱۹) منحنی تغییرات تعداد واحدهای مخفی براساس تکرار ارائه الگو.

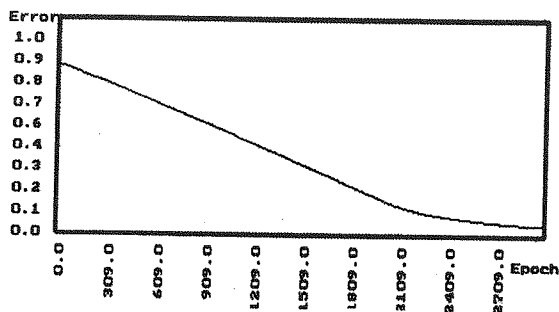


شکل (۲۰) منحنی میانگین مربع خطا براساس تکرار ارائه الگو.

شکل ۲۱ تعداد واحدهای مخفی تعیین شده براساس تعداد واحد های استفاده شده در شروع آموزش را نشان می دهد. این منحنی بیانگر این مطلب است که تعداد واحدهای تعیین شده توسط الگوریتم مستقل از تعداد واحدهایی است که در شروع آموزش شبکه در نظر گرفته می شود. هر چند ساختارهای تولید شده اختلاف جزئی با هم دارند، اما همه بسیار نزدیک به ساختار بهینه هستند. هر نقطه از این شکل متوسط ۱۰ اجرای مختلف می باشد.



شکل (۲۱) منحنی تعداد واحدهای مخفی تعیین شده براساس تعداد واحدهای اولیه.



شکل (۲۳) منحنی میانگین مربع خطا براساس تکرار ارائه الگو.

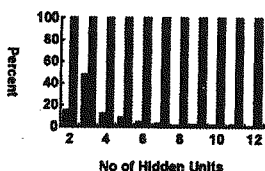
مسئله XOR: برای پیاده سازی این تابع توسط شبکه سه لایه، حداقل به دو واحد نیاز می باشد [۲۹]. الگوریتم پیشنهادی روی ۱۷۰ شبکه با وزن های اولیه تصادفی آزمایش شده است و نتایج آن در جدول (۵) آورده شده است.

جدول (۵) نتایج شبیه سازی برای مسئله XOR

| شبکه | تعداد واحدهای مخفی | متوسط مربع خطا | درصد تشخیص |
|---------|--------------------|----------------|------------|
| ۲۲-۱ | ۲ | ۰/۰۳۳۵۸۴ | ۱۰۰ |
| ۹۱-۲۲ | ۳ | ۰/۰۰۴۱۳۲ | ۱۰۰ |
| ۱۰۹-۹۲ | ۴ | ۰/۰۰۰۴۹۰ | ۱۰۰ |
| ۱۲۱-۱۱۰ | ۵ | ۰/۰۰۰۴۸۷ | ۱۰۰ |
| ۱۲۸-۱۲۲ | ۶ | ۰/۰۰۰۴۸۰ | ۱۰۰ |
| ۱۳۳-۱۲۹ | ۷ | ۰/۰۰۰۴۶۰ | ۱۰۰ |
| ۱۳۵-۱۳۴ | ۸ | ۰/۰۰۰۴۴۵ | ۱۰۰ |
| ۱۳۸-۱۳۶ | ۹ | ۰/۰۰۰۴۷۷ | ۱۰۰ |
| ۱۴۱-۱۳۹ | ۱۰ | ۰/۰۰۰۴۸۵ | ۱۰۰ |
| ۱۴۴-۱۴۲ | ۱۱ | ۰/۰۰۰۴۸۴ | ۱۰۰ |
| ۱۴۵ | ۱۲ | ۰/۰۰۰۴۸۲ | ۱۰۰ |
| متوسط | ۲/۹۸ | ۰/۰۰۷۲۶ | ۱۰۰ |

از بین ۱۷۰ شبکه آزمایش شده، این الگوریتم قادر به آموزش ۲۵ شبکه نبوده است. تعداد واحدهای مخفی و درصد تشخیص آنها برای مواردی که الگوریتم همگرا شده است، توسط هیستوگرام شکل ۲۴ داده شده است. برای این مسئله ۱۵/۲ درصد از شبکه ها به دو واحد مخفی (مقدار بهینه)، ۴۷/۶ درصد به سه واحد، ۱۲ درصد به چهار واحد، ۸/۳ درصد به پنج واحد و کمتر از ۱۷ درصد به بیشتر از پنج واحد همگرا می شوند.

■ Networks Converged ■ Recognition Rate



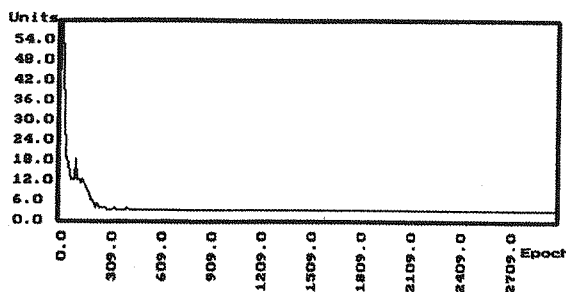
شکل (۲۴) هیستوگرام تعداد واحدهای مخفی

تعیین شده توسط الگوریتم بقا.

مسئله Encoding: حل مسئله Encoding برای بردارهای n بیتی ورودی، به وسیله یک شبکه عصبی سه لایه که توسط الگوریتم انتشار خطا به عقب آموزش می بیند، نیاز به \log_2^n واحد مخفی دارد [۲۹]. این الگوریتم روی ۲۰ شبکه با وزن های اولیه تصادفی برای بردارهای هشت بیتی ورودی آزمایش شده اند و نتایج آن در جدول (۴) نشان داده شده است. در تمامی موارد آزمایش شده، الگوریتم قادر به آموزش شبکه بوده است. شکل های ۲۲ و ۲۳ منحنی تغییرات تعداد واحدهای مخفی و میانگین مربع خطا براساس تکرار ارائه الگو (Epoch) به شبکه برای یک شبیه سازی نمونه را نشان می دهند.

جدول (۴) نتایج شبیه سازی برای مسئله Encoding

| شبکه | تعداد واحدهای مخفی | متوسط مربع خطا | درصد تشخیص |
|-------|--------------------|----------------|------------|
| ۱ | ۳ | ۰/۰۲۱۹۳ | ۱۰۰ |
| ۲ | ۳ | ۰/۰۰۹۹۸ | ۱۰۰ |
| ۳ | ۴ | ۰/۰۵۴۰۵ | ۱۰۰ |
| ۴ | ۳ | ۰/۰۰۹۹۳ | ۱۰۰ |
| ۵ | ۴ | ۰/۰۰۹۹۶ | ۱۰۰ |
| ۶ | ۳ | ۰/۰۰۹۹۵ | ۱۰۰ |
| ۷ | ۳ | ۰/۰۲۱۹۰ | ۱۰۰ |
| ۸ | ۳ | ۰/۰۰۹۹۸ | ۱۰۰ |
| ۹ | ۳ | ۰/۰۰۹۹۸ | ۱۰۰ |
| ۱۰ | ۳ | ۰/۰۰۹۹۹ | ۱۰۰ |
| ۱۱ | ۳ | ۰/۰۰۹۹۹ | ۱۰۰ |
| ۱۲ | ۳ | ۰/۰۰۹۹۸ | ۱۰۰ |
| ۱۳ | ۳ | ۰/۰۰۹۹۹ | ۱۰۰ |
| ۱۴ | ۳ | ۰/۰۰۹۹۹ | ۱۰۰ |
| ۱۵ | ۳ | ۰/۰۰۹۹۸ | ۱۰۰ |
| ۱۶ | ۳ | ۰/۰۰۹۹۹ | ۱۰۰ |
| ۱۷ | ۳ | ۰/۰۰۹۹۵ | ۱۰۰ |
| ۱۸ | ۳ | ۰/۰۰۹۹۸ | ۱۰۰ |
| ۱۹ | ۲ | ۰/۱۲۳۶۶ | ۱۰۰ |
| ۲۰ | ۳ | ۰/۰۰۹۹۹ | ۱۰۰ |
| متوسط | ۳/۰۵ | ۰/۰۱۸۵۶ | ۱۰۰ |



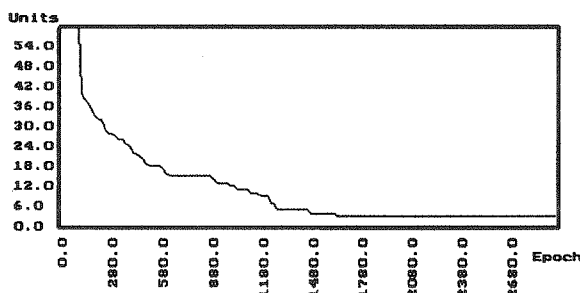
شکل (۲۲) منحنی تغییرات تعداد واحدهای

مخفی براساس تکرار ارائه الگو.

جدول (۷) نتایج شبیه سازی برای مسئله تقارن شش بیتی.

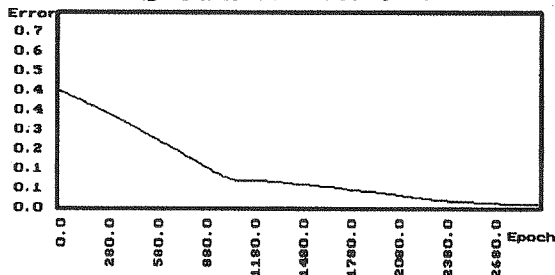
| شبکه | تعداد واحدهای مخفی | متوسط مربع خطا | درصد تشخیص |
|-------|--------------------|----------------|------------|
| ۱ | ۵ | ۰/۰۰۰۰۳ | ۱۰۰ |
| ۲ | ۲ | ۰/۰۰۱۱۳ | ۱۰۰ |
| ۳ | ۳ | ۰/۰۱۰۸۷ | ۱۰۰ |
| ۴ | ۲ | ۰/۱۰۵۷۹ | ۸۷/۵ |
| ۵ | ۲ | ۰/۰۹۴۴۲ | ۸۷/۵ |
| ۶ | ۵ | ۰/۱۰۹۰۹ | ۸۷/۵ |
| ۷ | ۲ | ۰/۰۹۲۸۰ | ۸۷/۵ |
| ۸ | ۵ | ۰/۱۰۱۷۸ | ۸۷/۵ |
| ۹ | ۴ | ۰/۰۹۷۷۹ | ۸۷/۵ |
| ۱۰ | ۳ | ۰/۱۰۷۹۳ | ۸۷/۵ |
| ۱۱ | ۳ | ۰/۰۹۵۳۵ | ۸۷/۵ |
| ۱۲ | ۲ | ۰/۰۹۳۷۵ | ۸۷/۵ |
| متوسط | ۳/۱۶ | ۰/۰۷۵۹۸ | ۸۹/۶ |

شکل های ۲۷ الی ۳۰ منحنی تغییرات تعداد واحدهای مخفی و میانگین مربع خطا براساس تکرار ارائه الگو به شبکه را برای یک شبیه سازی نمونه نشان می دهند.



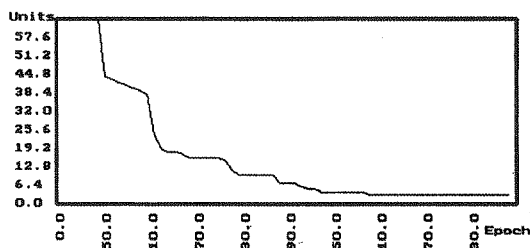
شکل (۲۷) منحنی تغییرات تعداد واحدهای مخفی

براساس تکرار ارائه الگو (تقارن چهار بیتی).



شکل (۲۸) منحنی میانگین مربع خطا براساس

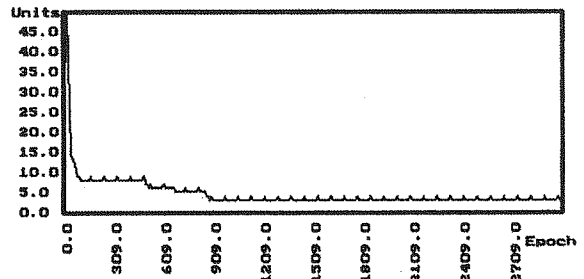
تکرار ارائه الگو (تقارن چهار بیتی).



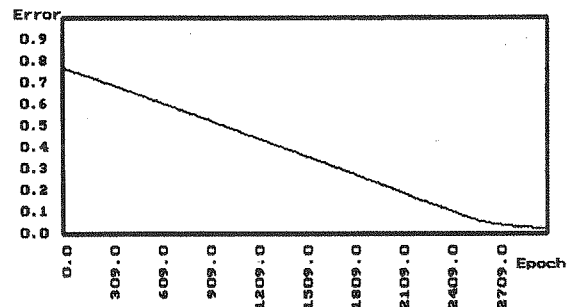
شکل (۲۹) منحنی تغییرات تعداد واحدهای مخفی براساس

تکرار ارائه الگو (تقارن شش بیتی).

شکل های ۲۵ و ۲۶ منحنی تغییرات تعداد واحدهای مخفی و میانگین مربع خطا براساس تکرار ارائه الگو (Epoch) به شبکه با استفاده از HULA (2, 7, 50) برای یک شبیه سازی نمونه را نشان می دهند.



شکل (۲۵) منحنی تغییرات تعداد واحدهای مخفی براساس تکرار ارائه الگو.



شکل (۲۶) منحنی میانگین مربع خطا براساس تکرار ارائه الگو.

۵ - مسئله تقارن: برای حل این مسئله توسط یک شبکه عصبی سه لایه و آموزش توسط الگوریتم انتشار خطا به عقب، حداقل دو واحد مخفی مورد نیاز می باشد [۲۹]. دو گروه آزمایش برای مسئله تقارن انجام گرفته است: تقارن چهار بیتی و تقارن شش بیتی. برای بردارهای چهاربیتی ۶۵ شبکه و برای بردارهای شش بیتی ۱۲ شبکه توسط الگوریتم پیشنهادی آموزش داده شده اند که نتایج آن در جداول (۶) و (۷) آمده است.

جدول (۶) نتایج شبیه سازی برای مسئله تقارن چهار بیتی.

| شبکه | تعداد واحدهای مخفی | متوسط مربع خطا | درصد تشخیص |
|-------|--------------------|----------------|------------|
| ۹-۱ | ۲ | ۰/۰۱۲۱۷۶ | ۱۰۰ |
| ۱۸-۱۰ | ۳ | ۰/۰۵۶۷۱۸ | ۱۰۰ |
| ۲۷-۱۹ | ۴ | ۰/۰۸۰۳۹۴ | ۱۰۰ |
| ۴۱-۲۸ | ۵ | ۰/۰۰۰۸۲۲۵ | ۱۰۰ |
| ۴۶-۲۲ | ۶ | ۰/۰۰۰۷۹۱۸ | ۱۰۰ |
| ۵۰-۴۷ | ۷ | ۰/۰۰۰۹۴۲۵ | ۱۰۰ |
| متوسط | ۴/۱۸ | ۰/۰۲۷۴۳ | ۱۰۰ |

نظر گرفته شده است که با گذشت زمان و عبور از حالت گذرا و نزدیک شدن به حالت ماندگار، تغییرات در شرایط محیط کم می شود و محیط تقریباً همانند یک محیط ایستا عمل می کند. قضیه ۱ مصلحت گرایی اتوماتان HULA (K, N, M) و قضیه ۴ همگرایی اتوماتان HULA (2, N, 1) را اثبات می کند.

لم ۱: ماکزیمم تابع $M = \sum_{n=1}^K d_n (1 - d_n)$ با شرط $(d_1, d_2, \dots, d_K) = (\frac{1}{K}, \frac{1}{K}, \dots, \frac{1}{K})$ در نقطه $\sum_{n=1}^K d_n = 1$ اتفاق می افتد و مقدار آن برابر است با $\frac{K-1}{K}$. اثبات: تابع M را به صورت زیر در نظر بگیرید.

$$M = f(d_1, d_2, \dots, d_{K-1}) = \sum_{n=1}^{K-1} d_n (1 - d_n) + d_K (1 - d_K)$$

با توجه به شرط $\sum_{n=1}^K d_n = 1$ مقدار تابع

$$f(d_1, d_2, \dots, d_{K-1}) = \sum_{n=1}^{K-1} d_n (1 - d_n) + d_K (1 - d_K)$$

$$= \sum_{n=1}^{K-1} d_n (1 - d_n) + \sum_{n=1}^{K-1} d_n - \left[\sum_{n=1}^{K-1} d_n \right]^2 = 2 \sum_{n=1}^{K-1} d_n - \left[\sum_{n=1}^{K-1} d_n^2 + \left(\sum_{n=1}^{K-1} d_n \right)^2 \right]$$

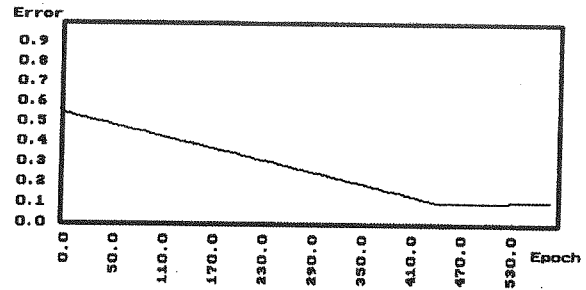
ماکزیمم تابع $f(d_1, d_2, \dots, d_{K-1})$ با مساوی صفر قرار دادن مشتقات جزئی آن نسبت به d_1, d_2, \dots, d_{K-1} بدست می آید.

$$\frac{\partial f}{\partial d_n} = 2 - 2d_n - 2 \sum_{m=1}^{K-1} d_m = 0 \quad \text{for } n = 1, 2, \dots, K-1$$

دستگاه معادلات فوق را به فرم ماتریسی می توان به صورت زیر نشان داد.

$$\begin{bmatrix} 2 & 1 & 1 & \dots & 1 \\ 1 & 2 & 1 & \dots & 1 \\ 1 & 1 & 2 & \dots & 1 \\ \vdots & & & \ddots & \\ 1 & 1 & 1 & \dots & 2 \end{bmatrix} \begin{bmatrix} d_1 \\ d_2 \\ d_3 \\ \vdots \\ d_{K-1} \end{bmatrix} = \begin{bmatrix} 1 \\ 1 \\ 1 \\ \vdots \\ 1 \end{bmatrix}$$

باتوجه به ماتریس ضرایب، دستگاه معادلات فوق یک جواب منحصر بفرد $(d_1, d_2, \dots, d_{K-1}) = (\frac{1}{K}, \frac{1}{K}, \dots, \frac{1}{K})$ دارد [۴۳]. تابع $f(d_1, d_2, \dots, d_{K-1})$ در این نقطه

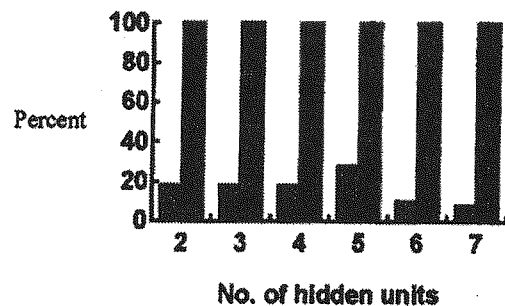


شکل (۳۰) منحنی میانگین مربع خطا براساس تکرار ارائه الگو (تقارن شش بیتی).

از بین ۶۵ شبکه آزمایش شده برای تقارن چهار بیتی، این الگوریتم قادر به آموزش ۱۵ شبکه نبوده است. تعداد واحدهای مخفی و درصد تشخیص آنها برای مواردی که الگوریتم همگرا شده است، توسط هیستوگرام شکل ۳۱ داده شده است. در این مسئله ۱۸ درصد از شبکه ها به دو واحد مخفی (مقدار بهینه)، ۱۸ درصد به سه واحد، ۱۸ درصد به چهار واحد، ۲۸ درصد به پنج واحد و کمتر از ۱۰ درصد به شش واحد و ۸ درصد به هفت واحد همگرا می شوند.

لازم به ذکر است که برای مسائل XOR و تقارن، هر چه تعداد واحدهای مخفی به مقدار بهینه نزدیک می شود، سرعت آموزش شبکه کندتر می گردد.

■ Networks Converged ■ Recognition Rate



شکل (۳۱) هیستوگرام تعداد واحدهای مخفی تعیین شده توسط الگوریتم بقا.

۶- بررسی رفتار اتوماتان یادگیر تعیین تعداد واحدهای مخفی

در این بخش مصلحت گرایی و همگرایی اتوماتان یادگیر تعیین تعداد واحدهای مخفی را در یک محیط ایستا بررسی می کنیم. فرض ایستا بودن محیط که باعث ساده تر شدن تحلیل ریاضی مدل می گردد بدین دلیل در

دارای $k = (KN)^M$ وضعیت مختلف w_1, w_2, \dots, w_k می باشد.

جدول (A) وضعیت های مختلف زنجیره مارکوف توصیف کننده

اتوماتان $HULA(4, 1, 2)$.

| اقدام اتوماتان | | | | وضعیت زنجیره مارکوف |
|----------------|----------------|----------------|----------------|---------------------|
| اقدام ۱ | اقدام ۲ | اقدام ۳ | اقدام ۴ | |
| $\{H_1, H_2\}$ | \emptyset | \emptyset | \emptyset | w_1 |
| $\{H_1\}$ | $\{H_2\}$ | \emptyset | \emptyset | w_2 |
| $\{H_2\}$ | $\{H_1\}$ | \emptyset | \emptyset | w_3 |
| \emptyset | $\{H_1, H_2\}$ | \emptyset | \emptyset | w_4 |
| \emptyset | \emptyset | $\{H_1, H_2\}$ | \emptyset | w_5 |
| \emptyset | \emptyset | $\{H_1\}$ | $\{H_2\}$ | w_6 |
| \emptyset | \emptyset | $\{H_2\}$ | $\{H_1\}$ | w_7 |
| \emptyset | \emptyset | \emptyset | $\{H_1, H_2\}$ | w_8 |
| $\{H_1\}$ | \emptyset | $\{H_2\}$ | \emptyset | w_9 |
| $\{H_1\}$ | \emptyset | \emptyset | $\{H_2\}$ | w_{10} |
| $\{H_2\}$ | \emptyset | $\{H_1\}$ | \emptyset | w_{11} |
| $\{H_2\}$ | \emptyset | \emptyset | $\{H_1\}$ | w_{12} |
| \emptyset | $\{H_1\}$ | $\{H_2\}$ | \emptyset | w_{13} |
| \emptyset | $\{H_2\}$ | \emptyset | $\{H_1\}$ | w_{14} |
| \emptyset | $\{H_2\}$ | $\{H_1\}$ | \emptyset | w_{15} |
| \emptyset | $\{H_1\}$ | \emptyset | $\{H_2\}$ | w_{16} |

احتمال انتخاب وضعیت w_n می باشد که به صورت زیر تعریف می شود.

$$d_1 = \Pr[S_1 = \{H_1, \dots, H_M\}] + \Pr[S_2 = \emptyset] + \dots + \Pr[S_k = \emptyset]$$

$$d_2 = \Pr[S_1 = \{H_2, \dots, H_M\}] + \Pr[S_2 = \{H_1\}] + \dots + \Pr[S_k = \emptyset]$$

$$\vdots$$

$$d_k = \Pr[S_1 = \emptyset] + \Pr[S_2 = \emptyset] + \dots + \Pr[S_k = \{H_1, \dots, H_M\}]$$

که در آن S_j نشان دهنده مجموعه واجدهای مخفی است که در اقدام j اتوماتان $HULA(K, N, M)$ یا در وضعیت w_j زنجیره مارکوف توصیف کننده این اتوماتان قرار دارند. ماتریس انتقال این زنجیره به صورت زیر می باشد.

$$F = \begin{bmatrix} 1 - \sum_{n=2}^k d_n & d_2 & \dots & d_k \\ d_1 & 1 - d_1 - \sum_{n=2}^k d_n & & d_k \\ \vdots & & & \\ d_1 & d_2 & & 1 - \sum_{n=1}^{k-1} d_n \end{bmatrix}$$

دارای حداکثر مقدار می باشد، زیرا مشتق دوم این تابع در تمامی محورها کوچکتر از صفر می باشد. باتوجه به شرط $\sum_{n=1}^K d_n = 1$ مقدار تابع $f(d_1, d_2, \dots, d_{K-1})$ در این نقطه برابر است با

$$f(d_1, d_2, \dots, d_{K-1}) = \sum_{n=1}^{K-1} \frac{1}{K} \left(1 - \frac{1}{K}\right) + \frac{1}{K} \left(1 - \frac{1}{K}\right)$$

$$= \sum_{n=1}^K \frac{1}{K} \left(1 - \frac{1}{K}\right) = \frac{K-1}{K}$$

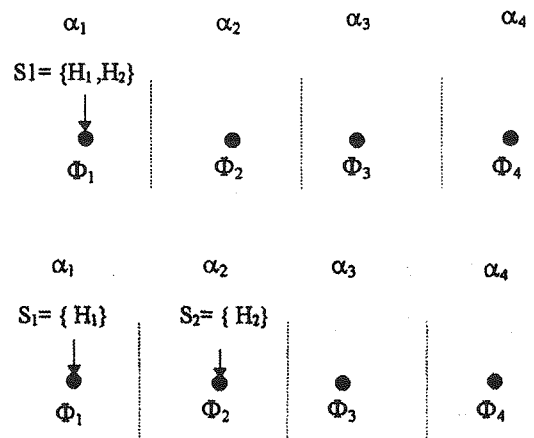
بنابر این لم اثبات می گردد.

قضیه ۱: اتوماتان $HULA(K, N, M)$ مصلحت گرا

است.

اثبات: فرض کنید مجموعه $W = \{w_1, w_2, \dots\}$

نشان دهنده وضعیت های زنجیره مارکوف توصیف کننده اتوماتان $HULA(K, N, M)$ باشند. دو نمونه از این وضعیت ها برای اتوماتان $HULA(4, 1, 2)$ در شکل (۳۲) نشان داده شده اند.



الف - وضعیت w_1 در زنجیره مارکوف توصیف کننده اتوماتان

$HULA(4, 1, 2)$

ب - وضعیت w_2 در زنجیره مارکوف توصیف کننده اتوماتان

$HULA(4, 1, 2)$

شکل (۳۲) دو وضعیت نمونه در زنجیره مارکوف توصیف کننده

اتوماتان $HULA(4, 1, 2)$.

حالت های مختلف زنجیره مارکوف توصیف کننده

این اتوماتان در جدول ۸ آمده است. به سادگی می توان نشان داد که زنجیره مارکوف توصیه کننده این اتوماتان

چون زنجیره مارکوف توصیف کننده این اتوماتان یک زنجیره Ergodic می باشد، در حالت تعادل معادله $F^T \Pi = \Pi$ برقرار می باشد، که $\Pi = [\pi_1, \dots, \pi_K]^T$ و π_n احتمال قرار گرفتن زنجیره در وضعیت w_n می باشد. با بسط معادله $F^T \Pi = \Pi$ ، دستگاه معادلات زیر بدست می آید.

$$-(1 - d_1) \pi_1 + d_1 \times \sum_{n=2}^K \pi_n = 0$$

$$d_2 \pi_1 - (1 - d_2) \pi_2 + d_2 \times \sum_{n=3}^K \pi_n = 0$$

...

$$d_m \times \sum_{n=1}^{m-1} \pi_n - (1 - d_m) \pi_m + d_m \times \sum_{n=m+1}^K \pi_n = 0$$

با بدست آوردن مقدار π_1 از معادله اول و قرار دادن آن در معادله دوم و ادامه دادن این روش جواب عمومی زیر بدست می آید.

$$\pi_m = \frac{d_m}{1 - \sum_{n=1}^m d_n} \sum_{n=m+1}^K d_n \quad m = 1, 2, \dots, K - 1$$

باتوجه به اینکه شرط $\sum_{n=1}^K \pi_n = 1$ همیشه برقرار است، جواب دستگاه معادلات فوق برای $1 \leq n \leq K$ برابر است با $\pi_n = d_n$. در نتیجه مقدار متوسط جریمه (M) در حالت تعادل برابر خواهد بود با

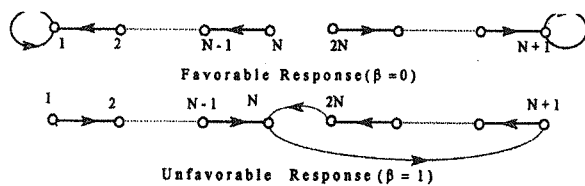
$$M = \sum_{n=1}^K c_n \pi_n = \sum_{n=1}^K d_n (1 - d_n)$$

و مقدار متوسط جریمه (M_0) برای یک اتوماتان شانسی برابر است با

$$M_0 = \sum_{n=1}^k \frac{1}{K} (1 - \frac{1}{K}) = \frac{K-1}{K}$$

با استفاده از لم (۱) و این حقیقت که در زنجیره مارکوف توصیف کننده اتوماتان $HULA(K, N, M)$ مقادیر d_n ها (برای $1 \leq n \leq K$) یکسان نیستند شرط $M < M_0$ همیشه برقرار است و بنابراین اتوماتان $HULA(K, N, M)$ مصلحت گرا می باشد.

عملکرد اتوماتان $HULA(2, N, M)$ را می توان به صورت زیر نیز بیان نمود. هر یک از M واحد مخفی در اتوماتان $HULA(2, N, M)$ به یکی از دو اقدام این اتوماتان وابسته می شوند. بنابر این می توان به جای یک اتوماتان $HULA(2, N, M)$ ، M اتوماتان



شکل (۳۳) اتوماتان $HULA(2, N, 1)$.

قضیه ۱: اگر $\theta = \frac{c_1}{c_2} < 1$ باشد اتوماتون $HULA(2, N, 1)$ یک اتوماتان Optimal - ϵ است. اثبات: با توجه به شکل ۳۳ ماتریس های انتقال این اتوماتان برابر است با

$$F^{(0)} = \begin{bmatrix} 1 & 0 & \dots & 0 & 0 & 0 & 0 & \dots & 0 & 0 \\ 1 & 0 & \dots & 0 & 0 & 0 & 0 & \dots & 0 & 0 \\ 0 & 1 & \dots & 0 & 0 & 0 & 0 & \dots & 0 & 0 \\ \vdots & \vdots & \ddots & \vdots & \vdots & \vdots & \vdots & \ddots & \vdots & \vdots \\ 0 & 0 & \dots & 1 & 0 & 0 & 0 & \dots & 0 & 0 \\ 0 & 0 & \dots & 0 & 0 & 1 & 0 & \dots & 0 & 0 \\ 0 & 0 & \dots & 0 & 0 & 1 & 0 & \dots & 0 & 0 \\ 0 & 0 & \dots & 0 & 0 & 0 & 0 & \dots & 0 & 0 \\ \vdots & \vdots & \ddots & \vdots & \vdots & \vdots & \vdots & \ddots & \vdots & \vdots \\ 0 & 0 & \dots & 0 & 0 & 0 & 0 & \dots & 1 & 0 \end{bmatrix}$$

$$F^{(1)} = \begin{bmatrix} 0 & 1 & 0 & \dots & 0 & 0 & 0 & \dots & 0 & 0 \\ 0 & 0 & 1 & \dots & 0 & 0 & 0 & \dots & 0 & 0 \\ \vdots & \vdots & \vdots & \ddots & \vdots & 0 & 0 & \dots & 0 & 0 \\ 0 & 0 & 0 & \dots & 1 & \vdots & \vdots & \dots & \vdots & \vdots \\ 0 & 0 & 0 & \dots & 0 & 1 & 0 & \dots & 0 & 0 \\ 0 & 0 & \dots & 0 & 0 & 0 & 1 & \dots & 0 & 0 \\ 0 & 0 & \dots & 0 & 0 & 0 & 0 & \dots & 0 & 0 \\ \vdots & \vdots & \ddots & \vdots & \vdots & \vdots & \vdots & \ddots & \vdots & \vdots \\ 0 & 0 & \dots & 0 & 0 & 0 & 0 & \dots & 0 & 1 \\ 0 & 0 & \dots & 0 & 1 & 0 & 0 & \dots & 0 & 0 \end{bmatrix}$$

و ماتریس احتمال انتقال برابر است با

$$P = \begin{bmatrix} d_1 & c_1 & 0 & \dots & 0 & 0 & 0 & 0 & 0 & \dots & 0 & 0 \\ d_1 & 0 & c_1 & \dots & 0 & 0 & 0 & 0 & 0 & \dots & 0 & 0 \\ 0 & d_1 & 0 & \dots & 0 & 0 & 0 & 0 & 0 & \dots & 0 & 0 \\ \vdots & & & & \vdots & \vdots & & & & & \vdots & \\ 0 & 0 & 0 & \dots & 0 & c_1 & 0 & 0 & 0 & \dots & 0 & 0 \\ 0 & 0 & 0 & \dots & d_1 & 0 & c_1 & 0 & 0 & \dots & 0 & 0 \\ 0 & 0 & 0 & \dots & 0 & 0 & d_2 & c_2 & 0 & \dots & 0 & 0 \\ 0 & 0 & 0 & \dots & 0 & 0 & d_2 & 0 & c_2 & \dots & 0 & 0 \\ 0 & 0 & 0 & \dots & 0 & 0 & 0 & 0 & d_2 & 0 & \dots & 0 \\ \vdots & & & & \vdots & \vdots & & & & & \vdots & \\ 0 & 0 & 0 & \dots & 0 & 0 & 0 & \dots & 0 & d_2 & 0 & c_2 \\ 0 & 0 & 0 & \dots & 0 & c_2 & 0 & \dots & 0 & 0 & d_2 & 0 \end{bmatrix}$$

با جایگزینی دو معادله فوق در معادلات (k) و (N+k) برای $k > 1$ معادله مشخصه زیر به دست می آید:

$$(1 - c_m) \lambda_m^2 - \lambda_m + c_m = 0 \quad m = 1, 2$$

جواب های معادله فوق عبارتند از:

$$\lambda_1^{(1)} = 1$$

$$\lambda_1^{(2)} = \frac{c_1}{c_1} = \theta$$

$$\lambda_1^{(2)} = \frac{c_1}{1 - c_1} = \theta$$

$$\lambda_2^{(2)} = \frac{1 - c_1}{c_1} = \frac{1}{\theta}$$

و شکل جواب معادلات (k) و (N+k) برابر است با

$$\pi_k = A_1 \theta^{k-1} + B_1 \quad \text{for all } k \geq 1$$

$$\pi_{N+k} = A_2 \theta^{k-1} + B_2 \quad \text{for all } k \geq 1$$

با استفاده از معادلات شماره (1) و (2N) خواهیم داشت $B_1 = 0$ و $B_2 = -\frac{A_2}{\theta^N}$ و با استفاده از معادله شماره (N) داریم $A_2 = A_1 \frac{\theta^{2N}}{\theta - 1}$. بنابراین جواب معادله $P^T \Pi = \Pi$ برابر است با

$$\pi_k = A_1 \theta^{k-1} \quad k = 1, 2, \dots, N$$

$$\pi_{N+k} = \frac{A_1}{\theta - 1} \theta^N [\theta^{N-k+1} - 1] \quad k = 1, 2, \dots, N$$

در این صورت مقادیر p_1 و p_2 به صورت زیر محاسبه می شوند.

$$p_1 = \sum_{k=1}^N \pi_k = A_1 \frac{\theta^N - 1}{\theta - 1}$$

$$p_2 = \sum_{k=1}^N \pi_{N+k} = \frac{A_2}{\theta^N} \left[\frac{\theta(1 - \theta^N)N(1 - \theta)}{(1 - \theta)} \right]$$

با توجه به مقادیر p_1 و p_2 و اینکه شرط $p_1 + p_2 = 1$ برقرار است خواهیم داشت.

$$A_1 = \frac{(\theta - 1)^2}{(\theta - 1)(\theta^N - 1) + N\theta^N(1 - \theta) - \theta^{N+1}(1 - \theta^N)}$$

$$A_2 = \frac{\theta^{2N}(\theta - 1)}{(\theta - 1)(\theta^N - 1) + N\theta^N(1 - \theta) - \theta^{N+1}(1 - \theta^N)}$$

در این صورت

عملکرد این اتوماتان در محیط ایستا را می توان توسط یک زنجیره مارکوف توصیف نمود. به دلیل اینکه زنجیره مارکوف توصیف کننده این اتوماتان Ergodic است، بردار احتمال نهایی وضعیت ها که توسط $\Pi = [\pi_1, \dots, \pi_{2N}]^T$ نمایش داده می شود را می توان از رابطه زیر بدست آورد.

$$P^T \Pi = \Pi$$

به دلیل اینکه این اتوماتان دو اقدام دارد، در نتیجه داریم $c_1 = d_1$ و $c_2 = d_2$ با بسط معادله فوق داریم:

$$c_1 \pi_1 + c_2 \pi_2 = \pi_1 \quad (1)$$

$$\vdots$$

$$c_1 \pi_{k-1} + c_2 \pi_{k+1} = \pi_k \quad (k)$$

$$\vdots$$

$$c_1 \pi_{N-1} + c_2 \pi_{2N} = \pi_N \quad (N)$$

$$c_1 \pi_N + c_1 \pi_{N+1} + c_1 \pi_{N+2} = \pi_{N+1} \quad (N+1)$$

$$\vdots$$

$$c_1 \pi_{N+k-1} + c_2 \pi_{N+k+1} = \pi_{N+k} \quad (N+k)$$

$$\vdots$$

$$c_2 \pi_{2N-1} = \pi_{2N} \quad (2N)$$

معادلات شماره (k) و (N+k) برای $k > 1$ ، معادلات تفاضلی مرتبه دوم هستند و معادلات با شماره های (1)، (N)، (N+1) و (2N) شرایط مرزی را مشخص می کنند. برای حل معادلات فوق فرض می کنیم که شکل جواب به صورت زیر باشد.

$$\pi_k = a_1 \lambda_1^{k-1}$$

$$\pi_{N+k} = a_2 \lambda_2^{k-1}$$

و همچنین مستقل از تعداد واحدهایی است که در شروع آموزش شبکه در نظر گرفته می‌شود. به عنوان نمونه الگوریتم ارائه شده در این مقاله با نتایج حاصله توسط دو الگوریتم هرس محاوره‌ای [۲۱] و هرس تکراری [۵] برای مسائل Parity و تقارن چهار بیتی که از مقاله [۵] گرفته شده است (جدول ۹ الی ۱۲) مقایسه گردیده است. مقایسه این جداول با جداول داده شده در این مقاله کارایی الگوریتم بقا را نشان می‌دهد. اغلب روش‌های گزارش شده برای تعیین ساختار شبکه از الگوریتم‌های کوهنوردی استفاده می‌کنند و مشکل گرفتاری در حداقل‌های محلی را دارند. در روش پیشنهادی در این مقاله به دلیل استفاده از روش‌های جستجوی عمومی، امکان گرفتاری در حداقل‌های محلی فضای ساختارها کاهش می‌یابد.

جدول (۹) نتایج هرس به وسیله روش محاوره‌ای برای مسئله Parity چهار بیتی.

| شبکه | تعداد واحدهای مخفی | متوسط مربع خطا | درصد تشخیص |
|-------|--------------------|----------------|------------|
| ۱ | ۳ | ۰/۱۲ | ۸۷/۵ |
| ۲ | ۵ | ۰/۰۶ | ۹۳/۷ |
| ۳ | ۴ | ۰/۰۶ | ۹۳/۷ |
| ۴ | ۶ | ۰/۰۰ | ۱۰۰ |
| ۵ | ۶ | ۰/۰۰ | ۱۰۰ |
| ۶ | ۷ | ۰/۰۰ | ۱۰۰ |
| ۷ | ۵ | ۰/۰۰ | ۱۰۰ |
| ۸ | ۴ | ۰/۰۶ | ۹۳/۷ |
| ۹ | ۶ | ۰/۰۰ | ۱۰۰ |
| ۱۰ | ۵ | ۰/۱۲ | ۸۸ |
| متوسط | ۵/۱ | ۰/۰۴۴ | ۹۵/۶۶ |

جدول (۱۰) نتایج هرس به وسیله روش محاوره‌ای برای مسئله تقارن.

| شبکه | تعداد واحدهای مخفی | متوسط مربع خطا | درصد تشخیص |
|-------|--------------------|----------------|------------|
| ۱ | ۶ | ۰/۰۰ | ۱۰۰ |
| ۲ | ۹ | ۰/۰۰ | ۱۰۰ |
| ۳ | ۶ | ۰/۰۱ | ۱۰۰ |
| ۴ | ۸ | ۰/۰۰ | ۱۰۰ |
| ۵ | ۷ | ۰/۰۰ | ۱۰۰ |
| ۶ | ۴ | ۰/۰۰ | ۱۰۰ |
| ۷ | ۶ | ۰/۱ | ۱۰۰ |
| ۸ | ۶ | ۰/۰۲ | ۸۷/۵ |
| ۹ | ۷ | ۰/۰۱ | ۹۳/۷ |
| ۱۰ | ۷ | ۰/۰۴ | ۱۰۰ |
| متوسط | ۶/۶ | ۰/۰۱۸ | ۹۷/۴۹ |

$$P_1 = \frac{(\theta^N - 1)(\theta - 1)}{(\theta - 1)(\theta^N - 1) + N\theta^N(1 - \theta) - \theta^{N+1}(1 - \theta^N)}$$

$$P_2 = \frac{\theta^N [N(1 - \theta) - \theta(1 - \theta^N)]}{(\theta - 1)(\theta^N - 1) + N\theta^N(1 - \theta) - \theta^{N+1}(1 - \theta^N)}$$

در نتیجه مقدار متوسط جریمه برای اتوماتان HULA (2, N, 1) برابر است با

$$M_{HULA(2, N, 1)} = c_1 p_1 + c_2 p_2$$

$$= c_1 p_1 + (1 - c_1) p_2$$

$$= \frac{\theta}{1 + \theta} p_1 + \frac{\theta}{1 + \theta} p_2$$

و یا

$$M_{HULA(2, N, 1)} = \frac{1}{1 + \theta} \frac{\theta(\theta - 1)(\theta^N - 1) + N\theta^N(1 - \theta) - \theta^{N+1}(1 - \theta^N)}{(\theta - 1)(\theta^N - 1) + N\theta^N(1 - \theta) - \theta^{N+1}(1 - \theta^N)}$$

اگر θ کوچکتر از یک باشد در این صورت

$$\lim_{N \rightarrow \infty} M_{HULA(2, N, 1)} = \frac{\theta}{1 + \theta} = \min\{c_1, c_2\} = c_1$$

بنابر این HULA (2, N, 1) یک اتوماتان ϵ -Optimal است.

قضیه فوق برای اتوماتان HULA (2, N, M) هنوز اثبات نشده است ولی نتایج شبیه سازی‌های انجام گرفته ϵ -Optimal بودن این اتوماتان را نشان می‌دهد.

۷- نتیجه گیری

در این مقاله الگوریتمی برای تعیین تعداد واحدهای مخفی شبکه عصبی سه لایه به نام الگوریتم بقا که از اتوماتان‌های مهاجرت اشیاء استفاده می‌کند، ارائه گردیده است. در این الگوریتم آموزش را از یک شبکه بزرگ شروع نموده و اتومان یادگیر با افزودن و کاستن واحدها سعی در پیدا نمودن ساختار مناسب برای شبکه را دارد. هر چند ممکن است این روش را در گروه الگوریتم‌های ترکیبی قرار داد، اما در این روش از الگوریتم‌های سازنده یا الگوریتم‌های هرس یا ترکیبی از آنها استفاده نشده است، بلکه تعیین ساختار شبکه به صورت مسئله افزان مجموعه‌ها تعریف شده است. نتایج آزمایشات نشان می‌دهند که تعداد واحدهای تعیین شده توسط این الگوریتم خیلی نزدیک به مقدار بهینه می‌باشد

- 5- Activation Function
- 6- Error Backpropagation
- 7- Topology
- 8- Time Complexity
- 9- Memorization Capability
- 10- Generalization Capability
- 11- Interpolation
- 12- State
- 13- Pruning Algorithms
- 14- Constructive Algorithms
- 15- Evolutionary Algorithms
- 16- Learning Automata
- 17- Partitioning
- 18- Action
- 19- Fixed Structure Learning Automata (FSLA)
- 20- Variable Structure Learning Automata (VSLA)
- 21- Unfavorable
- 22- Favorable
- 23- Norms of Behavior
- 24- Expedient
- 25- Optimal
- 26- Process
- 27- Asynchronous Transfer Mode (ATM)
- 28- Object Migrating Automata (OMA)
- 29- Oommen
- 30- Ma
- 31- Graph Partitioning
- 32- Graph Isomorphism
- 33- Hidden Unit Learning Automata (HULA)

جدول (۱۱) نتایج هرس به وسیله روش تکراری

برای مسئله Parity چهار بیتی.

| شبکه | تعداد واحدهای مخفی | متوسط مربع خطا | درصد تشخیص |
|-------|--------------------|----------------|------------|
| ۱ | ۵ | ۰/۰۰ | ۱۰۰ |
| ۲ | ۵ | ۰/۰۲ | ۱۰۰ |
| ۳ | ۴ | ۰/۰۰ | ۱۰۰ |
| ۴ | ۵ | ۰/۰۰ | ۱۰۰ |
| ۵ | ۵ | ۰/۰۱ | ۱۰۰ |
| ۶ | ۵ | ۰/۰۰ | ۱۰۰ |
| ۷ | ۵ | ۰/۰۰ | ۱۰۰ |
| ۸ | ۵ | ۰/۰۰ | ۱۰۰ |
| ۹ | ۵ | ۰/۰۰ | ۱۰۰ |
| ۱۰ | ۵ | ۰/۰۰ | ۱۰۰ |
| متوسط | ۵/۱ | ۰/۰۰۳ | ۱۰۰ |

جدول (۱۲) نتایج هرس به وسیله روش

تکراری برای مسئله تقارن.

| شبکه | تعداد واحدهای مخفی | متوسط مربع خطا | درصد تشخیص |
|-------|--------------------|----------------|------------|
| ۱ | ۳ | ۰/۰۱ | ۱۰۰ |
| ۲ | ۳ | ۰/۰۱ | ۱۰۰ |
| ۳ | ۴ | ۰/۰۰ | ۱۰۰ |
| ۴ | ۴ | ۰/۰۰ | ۱۰۰ |
| ۵ | ۲ | ۰/۰۲ | ۱۰۰ |
| ۶ | ۳ | ۰/۰۰ | ۱۰۰ |
| ۷ | ۳ | ۰/۰۲ | ۱۰۰ |
| ۸ | ۴ | ۰/۰۱ | ۱۰۰ |
| ۹ | ۴ | ۰/۰۲ | ۱۰۰ |
| ۱۰ | ۵ | ۰/۰۱ | ۱۰۰ |
| متوسط | ۳/۶ | ۰/۰۰۸ | ۱۰۰ |

زیر نویس ها

- 1- Multi-Layer Preceptrons
- 2- Feedforward Nets
- 3- Rosenblatt
- 4- Step Function

مراجع

- [1] Angeline, P. J., Saunders, G. M., and Pollack, J. B. (1994). Evolutionary Algorithm that Construct Recurrent Neural Networks, IEEE Trans. on Neural Networks, Vol. 5, No. 1, pp. 54-65.
- [2] Arai, M. (1993). Bounds on the Number of Hidden Units in Binary-Valued Three-Layer Neural Networks, Neural Networks, Vol. 6, pp. 855-860.
- [3] Beigy, H. and Meybodi, M. R. (1998). A Fast Method for Determining the Number of Hidden Units in Feedforward Neural Networks, Proc. of CSIC-97, Tehran, Iran, pp. 414-420 (In Persian).
- [4] Beigy, H. and Meybodi, M. R. (1998). Optimization of Topology of Neural Networks: A Survey, Technical Reports, Computer Eng. Dept. Amir-kabir Univeristy (In Persian).
- [5] Castellano, G., Fanelli, A. M., and Pelillo, M. (1997). An Iterative Pruning Algorithm for Feedforward Neural Networks, IEEE Trans. on Neural Networks, Vol. 8, No. 3, pp. 519-531.
- [6] Fahlman, S. E. and LeBrier, C. (1990). The Cas-

- cade-Correlation Learning Architecture, *Advances in Neural Information Processing System*, Vol. II, pp. 524-532.
- [7] Freat, M. (1990). The Upstart: A Method for Constructing and Training Feedforward Neural Networks, *Neural Computation*, pp. 198-29.
- [8] Hashim, A. A., Amir, S., and Mars, p. (1986). Application of Learning Automata to Data Compression, In *Adaptive and Learning Systems*, K. S. Narendra (Ed.), New York: Plenum Press, pp. 229-234.
- [9] Hirose, Y., Yamashita, K., and Hijya, S. (1991). Back-Propagation Algorithm Which Varies the Number of Hidden Units, *Neural Networks*, Vol. 4, No. 1, pp. 61-66.
- [10] Huang, S. C. and Huang, Y. F. (1991), Bounds on the Number Hidden Neurons in Multilayer Preceptrons, *IEEE Trans. on Neural Networks*, Vol. 2, No. 1, pp. 47-56.
- [11] Kruschke, J. H. (1988), Creating Local and Distributed Bottlenecks in Hidden Layer of Backpropagation Networks, *Proc. of Connectionist Models, Summer School*, Eds. D. Tourestzky, G. Hinton, and T. Sejnowski, pp. 120-126.
- [12] Kruschke, J. h. (1989), Improving Generalization in Backpropagation Networks, *Proc. of Int. Joint Conf. on Neural Networks*, Vol. i, pp. 443-447.
- [13] Kwok, T. Y. & Yeung, D. Y. (1997). Constructive Algorithms for Structure Learning in Feedforward Neural Networks for Regression Problems, *IEEE Trans. on Neural Networks*, Vol. I, No. pp. 630-645.
- [14] Lin, J. H. & Vitter, J. S. (1991). Complexity Results on Learning by Neural Nets, *Machine Learning*, Vol. 6, pp. 211-230.
- [15] Maniezzo, V. (1994). Genetic Evolution of the Topology and Weight Distribution of Neural Networks, *IEEE Trans on Neural Networks*, Vol. 5, No. 1, pp. 39-53.
- [16] Marchand, M., Golea, M., and Rujan, R (1990). A Convergence Theorem for Sequential Learning in Two-Layer Perceptrons, *Europhysics Letters* 11, pp. 487-492.
- [17] Mars, P., chen, J., R., and Nambiar, R. (1998). Learning Algorithms: Theory and Application in Signal Processing Control, and Communications, CRC press, New York.
- [18] Mars. P. and Narendra. K. S., and Chrystall, M. (1983). Learning Automata Control of Computer Communication Networks *Proc. of Third Yale Workshop on Applications of Adaptive Systems Theory*, Yale University.
- [19] Meltser , M., Shoham, M., and Manevitz, L. M. (1996). Approximating Function by Neural Networks: A Constructive Solution in the Uniform Norm, *Neural Networks*, Vol 9, No. 6, pp. 965-978.
- [20] Meybodi, m. R. and Beigy , H. (1998). New Class of Learning Automata Based Scheme for Adaptation of Backpropagation Algorithm Parameters, *Proc. of EUFIT-98, Achen, Germany*, pp. 339-344.
- [21] Meybodi. M. R. and Lakshmivarhan, S. (1983). A Learning Approach to Priority Assignment in a Two Class M/M/1 Queuing System with Unknown Parameters, *Proc. of Third Yale Workshop on Applications of Adaptive Systems Theory*, Yale University, pp. 106-109.
- [22] Mezard, M. and Nadal, J. P. (1989). Learning in Feedforward Neural Networks: The Tiling Algorithm, *Journal of Physics*, pp. 1285-1296.
- [23] Minor, J. M. (1993). Parity With Two Layer Feedforward Nets, *Neural Networks*, Vol. 6, No. 5, pp. 705-707.
- [24] Nabban, T. m. and Zomaya, A. Y. (1994). Toward Neural Networks Structures for Function Approximation, *Neural Networks*, Vol. 7, No. 1, pp. 89-99.
- [25] Narendra, k. S. and Thathachar, M. A. L. (1989). *Learning Automata: An Introduction*, Prentice-hall, Englewood cliffs.

- [26] Oommen, B. J. and Ma, D. C. Y. (1988). Deterministic Learning Automata Solutions to the Equipartitioning Problem, *IEEE Trans. on Computers*, Vol. 37, No. 1, pp. 2-13.
- [27] Oommen, B. J., Valiveti, R. S., and Zgierski, J. R. (1991). An Adaptive Learning Solution to the Keyboard Optimization Problem, *IEEE Trans. on Systems, Man, and Cybernetics*, Vol. 21, No. 6, pp. 1608-1618.
- [28] Oommen, B. J. and Croix, E. (1996). Graph Partitioning Using Learning Automata, *IEEE Trans. on Computers*, Vol. 45, No. 2, pp. 195-208.
- [29] Rumelhart, D. E., Jinton, G. E., and Williams, R. J. (1986). Learning Internal Representations by Error Backpropagation, In *Parallel Distributed Processing*, Cambridge, MA: MIT Press.
- [30] Reed, R. (1993). Pruning Algorithms-A Survey, *IEEE Trans. on Neural Networks*, Vol. 4, No. 5, pp. 740-747.
- [31] Sietsma, J. and Dow, R. J. F. (1991). Creating Artificial Neural Networks that Generalize, *Neural Networks*, Vol. 4, No. 1, pp. 67-79.
- [32] Sirat, J. A. and Nadal, J. P. (1990), *Neural Trees: A New Tool for Classification*, Preprint, Laboratoires d'Electronique, Philips, Limeil Brevannes, France.
- [33] Schaffer, J. D., Whitley, D., and Eshelman, L. J. (1992). Combinations of Genetic Algorithms and Neural Networks: A Survey of the State of the Art, *IEEE Proc. COGANN-92*, pp. 1-37.
- [34] Sperduti, A. and Startia, A. (1993). Speed Up Learning and Network Optimization with Extended Backpropagation, *Neural Networks*, Vol. 6, pp. 365-383.
- [35] Tamura, S. and Tateishi, M. (1997). Capabilities of a Four-Layered Feedforward Neural Network: Four Layer Versus Three, *IEEE Trans. on Neural Networks*, Vol. 8, No. 2, pp. 251-255.
- [36] Thathachar, M. A. L. and Sastry, P. S. (1987). Learning Optimal Discriminant Functions Through a Cooperative Game of Automata, *IEEE Trans. Syst., Man and Cybern.*, Vol. SMC-27, pp. 73-85.
- [37] Whitley, D. and Bogart, C. (1990). The Evolution of Connectivity: Pruning Neural Networks Using Genetic Algorithms, *Proc. of Int. Joint Conf. on Neural Networks*, Vol. I, pp. 134.
- [38] Yao, X. and Liu, Y. (1997). A New Evolutionary System for Evolving Artificial Neural Networks, *IEEE Trans. on Neural Networks*, Vol. 8, No. 3, pp. 694-713.
- [39] Yeung, D. Y. (1991). Automatic Determination of Network Size for Supervised Learning, *IEEE Int. joint Conf. on Neural Networks*, pp. 158-164.
- [40] Yu, X. H. (1992). Can Backpropagation Error Surface Not Have Local Minima, *IEEE Trans. on Neural Networks*, Vol. 3, No. 6, pp. 1019-1021.
- [41] Lippman, R. P. (1987). An Introduction to Computing with Neural Nets, *IEEE ASSP Mag.*, Vol. 4, pp. 4-22.
- [42] Beigy, H. and Meybodi, M. R. (1999). Graph Isomorphism Using Learning Automata, In *proc. of 5th Annual Int. CSI Computer Conf., CSICC' 2000*, pp. 402-415, March. 2000.
- [43] Gilbert, J. and Gilbert, L. (1994), *Linear Algebra and Matrix Theory*, Academic Press, New York.
- [44] Meybodi, M. R. and Lakshmivarahan S. (1982), Optimality of a General Class of Learning Algorithm, *Information Science*, Vol. 28, pp. 1-20.
- [45] Meybodi, M. R. and Lakshmivarahan S. (1984), On a Class of Learning Algorithms which Have a Symmetric Behavior Under Success and Failure, *Springer Verlag Lecture Notes in Statistics*, pp. 145-155.
- [46] Meybodi, M. R. (1987), Results on Strongly Absolutely Expedient Learning Automata, *Proc. of OU Inference Conf. 86*, ed. D. R. Mootes and R. Butrick, Athens, Ohio: Ohio University Press, pp. 197-204.